



ФГБУ «Арктический и антарктический научно-исследовательский институт»
МЦД МЛ

Информационные материалы по мониторингу морского ледяного покрова Арктики и Южного Океана на основе данных ледового картирования и пассивного микроволнового зондирования SSMR-SSM/I-SSMIS-AMSR₂

12.03.2018 - 20.03.2018

№ 12 (342)

Санкт-Петербург 2018

тел. +7(812)337-3149, эл.почта: vms@aari.aq

Адрес в сети Интернет: <http://wdc.aari.ru/datasets/doo42/>

Содержание

Северное Полушарие	3
Рисунок 1а,б – Ледовая карта СЛО и повторяемость кромки за текущую неделю (цветовая окраска по общей сплоченности и преобладающему возрасту).....	3
Рисунок 1в – Положение кромки льда и зон разреженных и сплоченных льдов СЛО за последний доступный срок на основе ледового анализа НЛЦ США	4
Рисунок 2 – Обзорная ледовая карта СЛО за текущую неделю и аналогичные периоды 2007-2017 гг. .	5
Таблица 1 – Динамика изменения значений ледовитости для акваторий Северной полярной области за текущую неделю по данным наблюдений SSMR-SSM/I-SSMIS	7
Таблица 2 - Медианные значения ледовитости для Северной полярной области и 3-х меридиональных секторов за текущие 30 и 7-дневные интервалы и её аномалии от 2011-2016 гг. и интервалов 2006-2017 гг. и 1978-2017 гг. по данным наблюдений SSMR-SSM/I-SSMIS	7
Таблица 3 – Экстремальные и средние значения ледовитости для Северной полярной области и 3 меридиональных секторов за текущий 7-дневный интервал по данным наблюдений SSMR-SSM/I-SSMIS, алгоритм NASATEAM.....	8
Рисунок 3 – Ежедневные оценки сезонного хода ледовитости для Северной Полярной Области и её трех меридиональных секторов за период с 26.10.1978 по текущий момент времени по годам.	9
Рисунок 4 – Медианные распределения сплоченности льда за текущие 7 и 30 дневные интервалы времени и её разности относительно медианного распределения за те же промежутки за 1978-2017 и 2007-2017 гг. на основе расчетов по данным SSMR-SSM/I-SSMIS, алгоритм NASATEAM .	11
Южный океан	12
Рисунок 5а,б – Ледовая карта Южного Океана за последний доступный срок на (окраска по общей сплоченности и преобладающему возрасту)	12
Рисунок 6в – Положение кромки льда и зон разреженных и сплоченных льдов Южного Океана за последний доступный срок на основе ледового анализа НЛЦ США	14
Рисунок 7 – Ежедневные оценки сезонного хода ледовитости Южного Океана и его трёх меридиональных секторов за период с 26.10.1978 по текущий момент времени по годам	15
Рисунок 8 – Медианные распределения общей сплоченности льда за текущие 7 и 30 дневные интервалы времени и её разности относительно медианного распределения за те же промежутки за периоды 1978-2017 и 2007-2017 гг. на основе расчетов по данным SSMR-SSM/I-SSMIS	15
Таблица 4 – Динамика изменения значений ледовитости для акваторий Южного океана за текущий 7-дневный интервал по данным наблюдений SSMR-SSM/I-SSMIS	16
Таблица 5 - Медианные значения ледовитости для Южного океана и 3 меридиональных секторов за текущие 30 и 7-дневные интервалы и её аномалии от 2011-2016 гг. и интервалов 2007-2017 гг. и 1978-2017 гг. по данным наблюдений SSMR-SSM/I-SSMIS, алгоритм NASATEAM.....	16
Таблица 6 – Экстремальные и средние значения ледовитости для Южного океана и 3 меридиональных секторов за текущий 7-дневный интервал по данным наблюдений SSMR-SSM/I-SSMIS, алгоритм NASATEAM.....	16
Земля в целом	17
Рисунок 9 – Ежедневные сглаженные окном 365 суток значения ледовитости Арктики, Антарктики и Земли в целом с 26.10.1978 на основе SSMR-SSM/I-SSMIS	17
Рисунок 10 – Ежедневные сглаженные окном 365 суток значения приведенной ледовитости Арктики, Антарктики и Земли в целом с 26.10.1978 на основе SSMR-SSM/I-SSMIS	18
Приложение 1 – Статистические значения ледовитостей по отдельным акваториям Северной Полярной Области и Южного океана.....	19
Таблица 7 – Средние, аномалии среднего и экстремальные значения ледовитостей для Северной полярной области и её отдельных акваторий за текущие 7 и 30 дневные промежутки времени по данным наблюдений SSMR-SSM/I-SSMIS, алгоритм NASATEAM за период 1978-2017 гг.....	20
Таблица 8 – Средние, аномалии среднего и экстремальные значения ледовитостей для Южного океана и его отдельных акваторий за текущие 7 и 30 дневные интервалы времени по данным наблюдений SSMR-SSM/I-SSMIS, алгоритм NASATEAM за период 1978-2017 гг.....	21
Таблица 9 – Динамика изменения значений ледовитости для акваторий Северной полярной области и Южного океана за текущую неделю по данным наблюдений SSMIS.....	23
Характеристика исходного материала и методика расчетов	24

Северное Полушарие

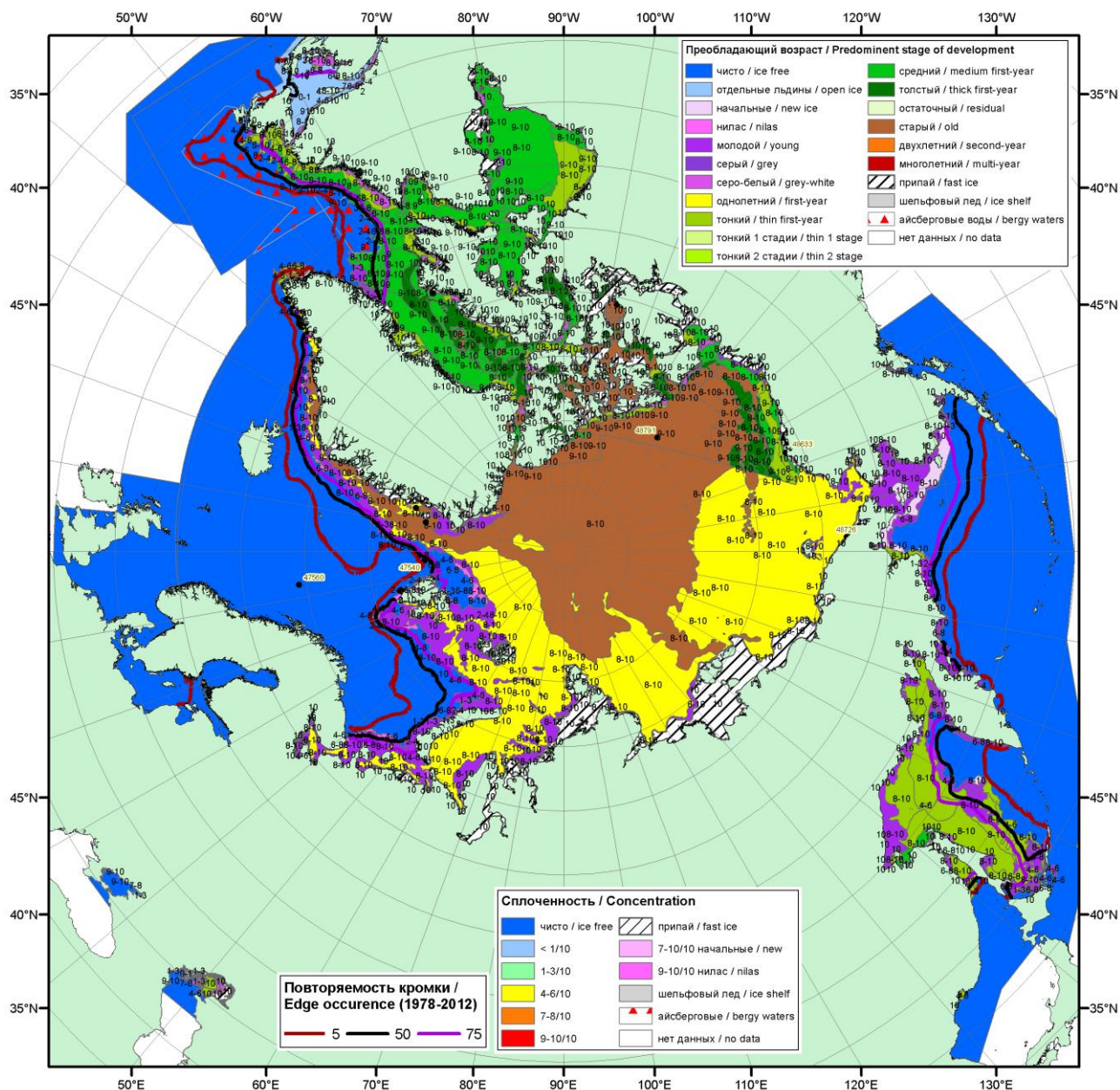


Рисунок 1а – Обзорная ледовая карта СЛО за 12.03.2018 -20.03.2018 г. (цветовая раскраска по преобладающему возрасту) на основе ледового анализа ААНИИ (20.03), НИЦ Планета (Каспийское и Азовское моря, 12.03), Канадской ледовой службы (12.03), Национального ледового центра США (15.03), положение метеорологической дрейфующих буев IABP и Argos на 20.03.2018T1200+00 и повторяемость кромки за 16-20.03 за период 1979-2012 гг. по наблюдениям SSMR-SSM/I-SSMIS (алгоритм NASATEAM).

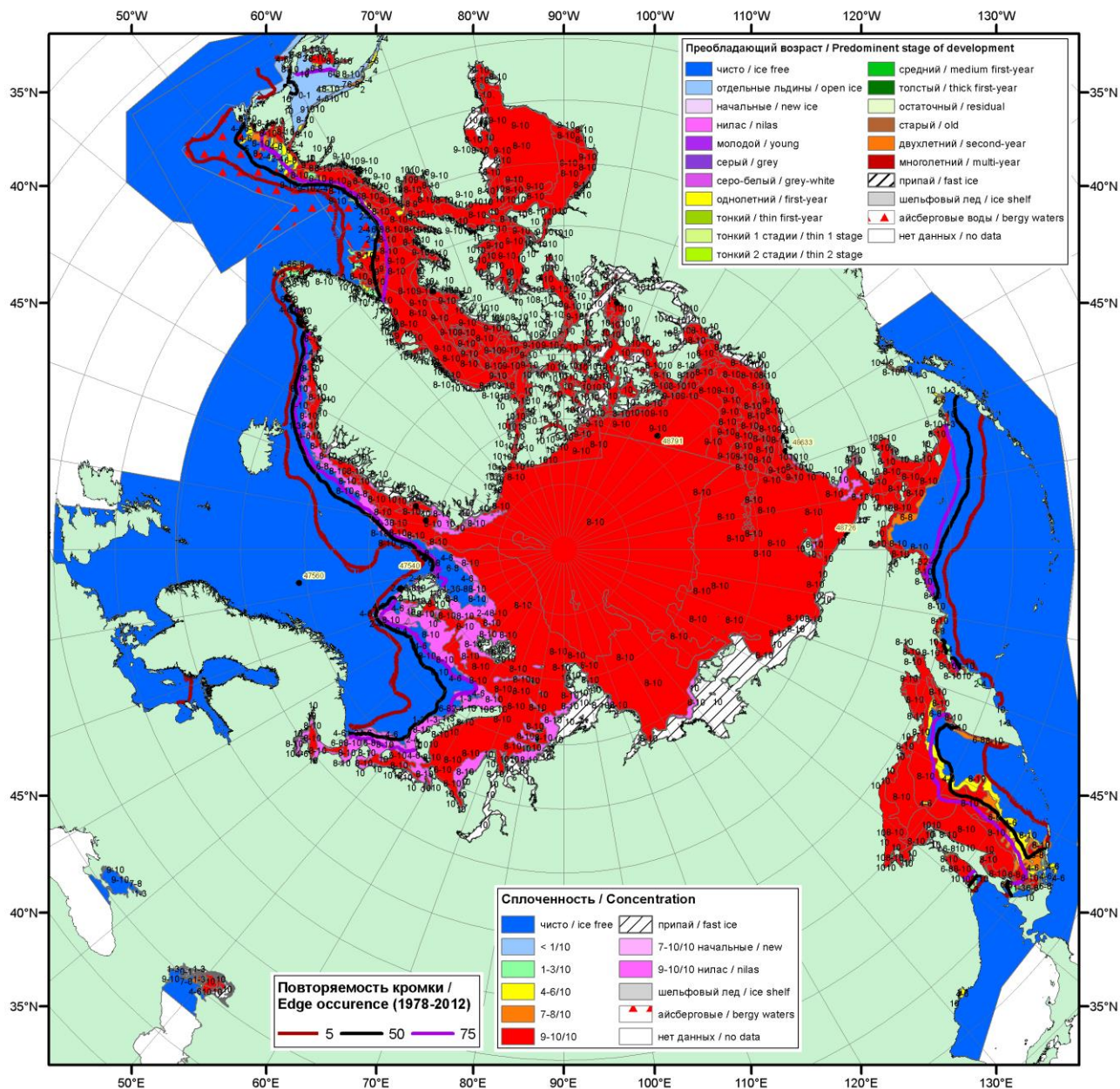


Рисунок 16 – Обзорная ледовая карта СЛО за 12.03.2018 - 20.03.2018 г. (цветовая раскраска по общей сплоченности) на основе ледового анализа ААНИИ (20.03), НИЦ Планета (Каспийское и Азовское моря, 12.03) Канадской ледовой службы (12.03), Национального ледового центра США (15.03), положение метеорологический дрейфующих буев IABP и Argos на 20.03.2018T1200+00 и повторяемость кромки за 16-20.03 за период 1979-2012 гг. по наблюдениям SSMR-SSM/I-SSMIS (алгоритм NASATEAM).

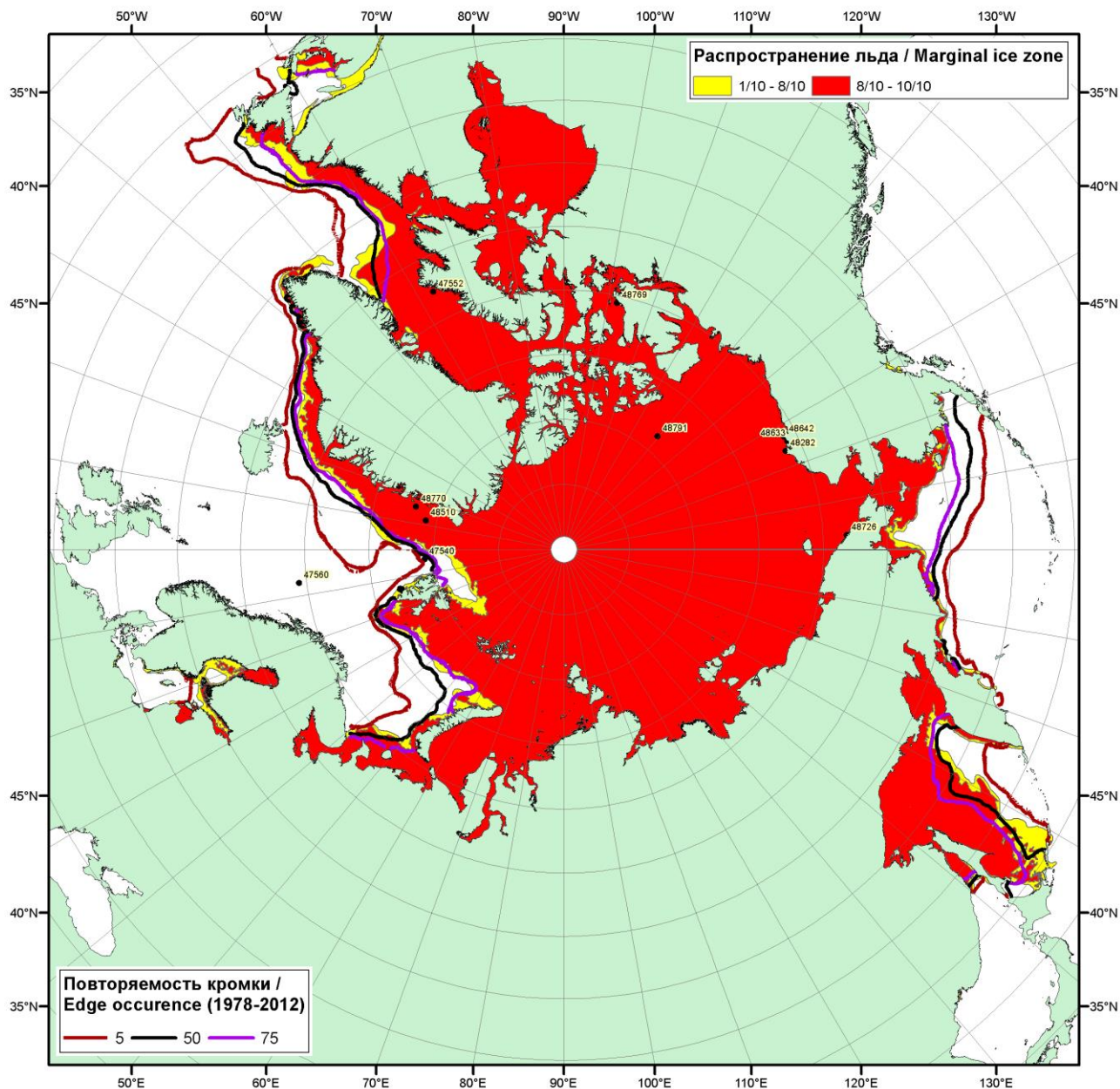
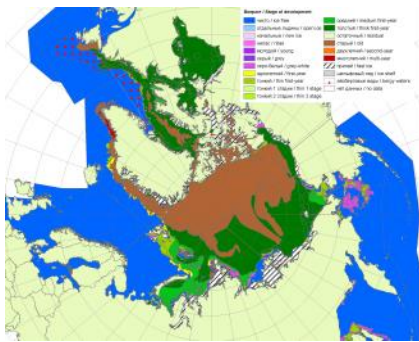
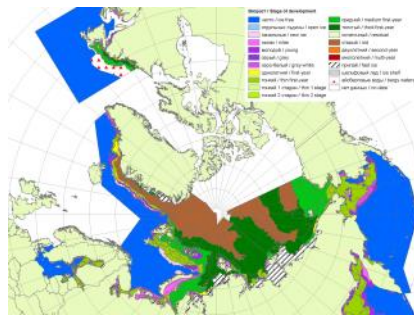


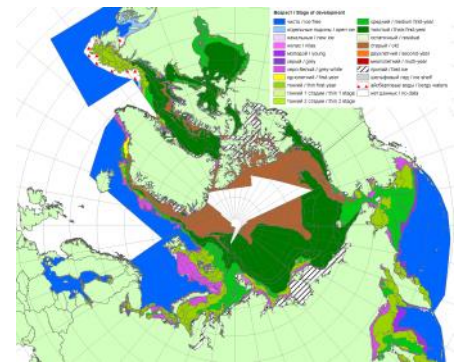
Рисунок 1в – Положение кромки льда и зон разреженных (<8/10) и сплошных ($\geq 8/10$) льдов СЛО за 20.03.2018 г. на основе ледового анализа Национального Ледового Центра США, положение метеорологический дрейфующих буев IABP и Argos на 20.03.2018T1200+00 и повторяемость кромки за 16-20.03 за период 1979-2012 гг. по наблюдениям SSMR-SSM/I-SSMIS (алгоритм NASATEAM)



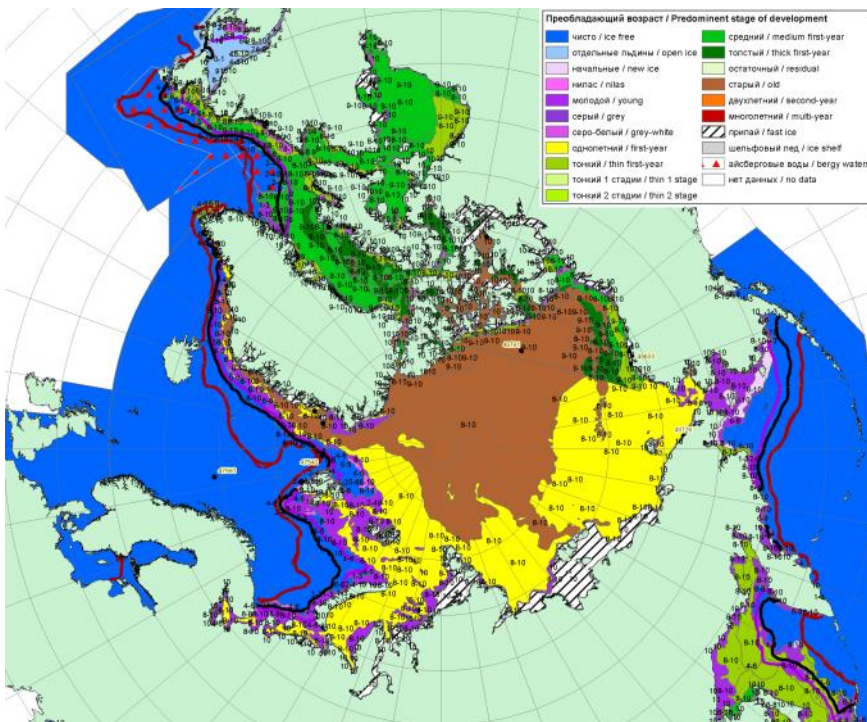
2007



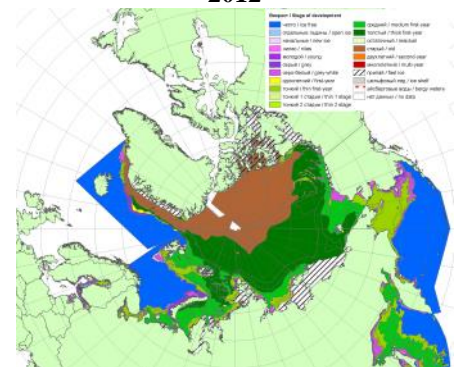
2011



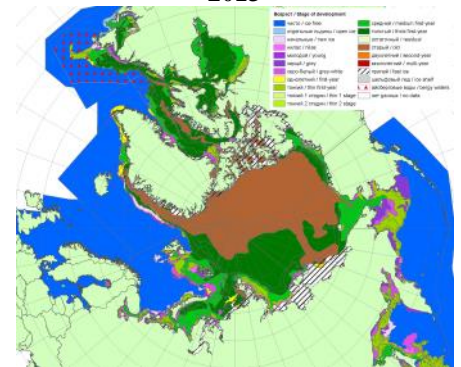
2012



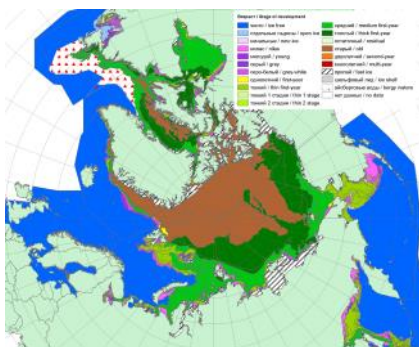
2018



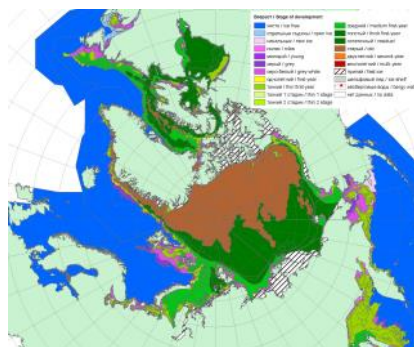
2013



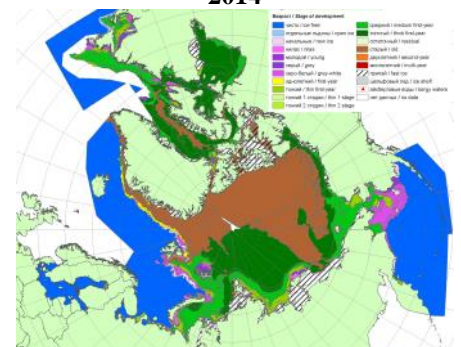
2014



2017



2016



2015

Рисунок 2а – Обзорная ледовая карта СЛО за 12.03 - 20.03.2018 г. и аналогичные периоды 2007-2017 гг. на основе ледового анализа ААНИИ, НИЦ Планета, Канадской ледовой службы и Национального ледового центра США.

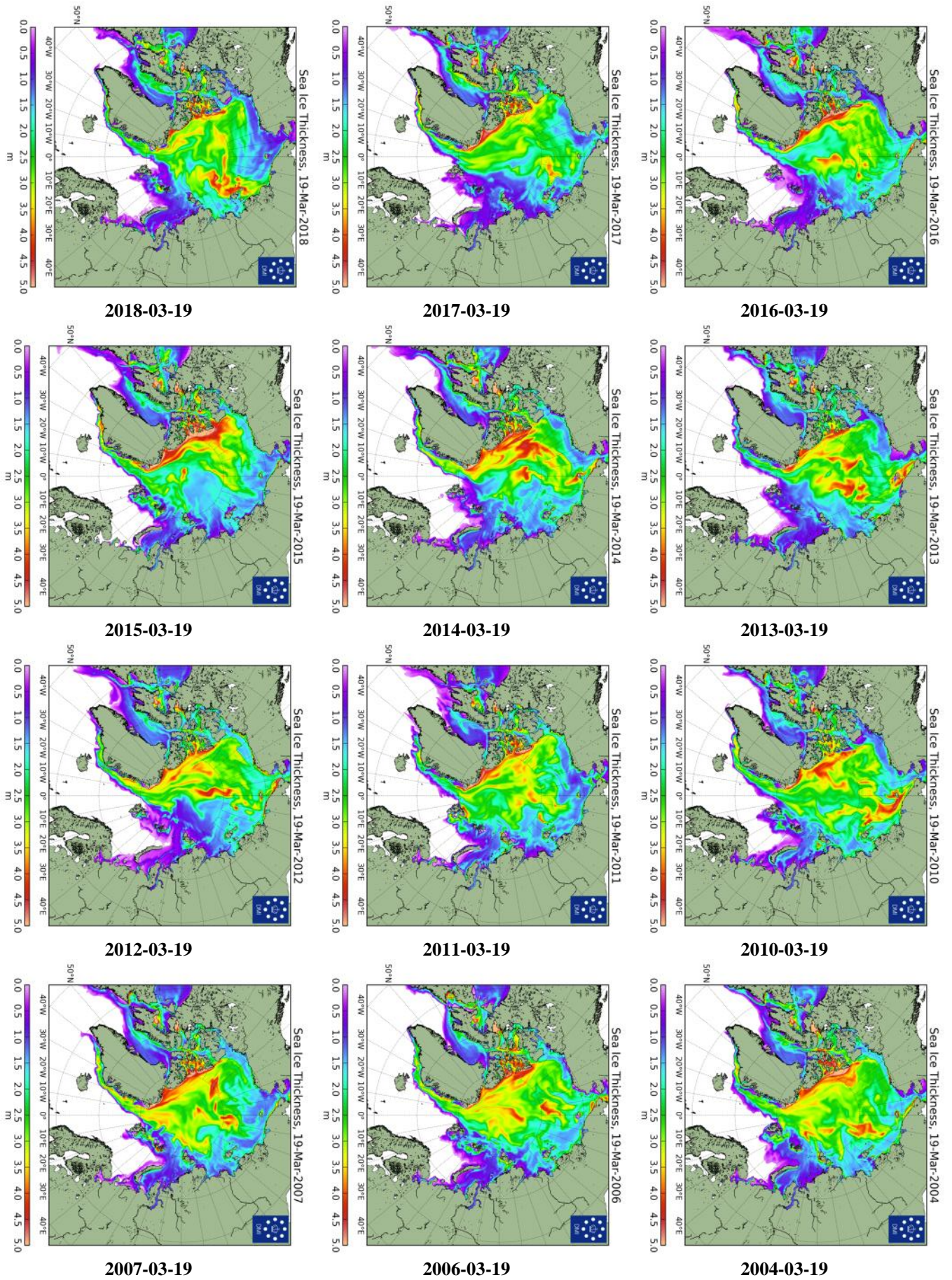


Рисунок 26 – Поля распределения средневзвешенной толщины льда совместной модели морского льда – океана HYCOM/CICE Датского метеорологического института 19.03 2005-2018 гг.

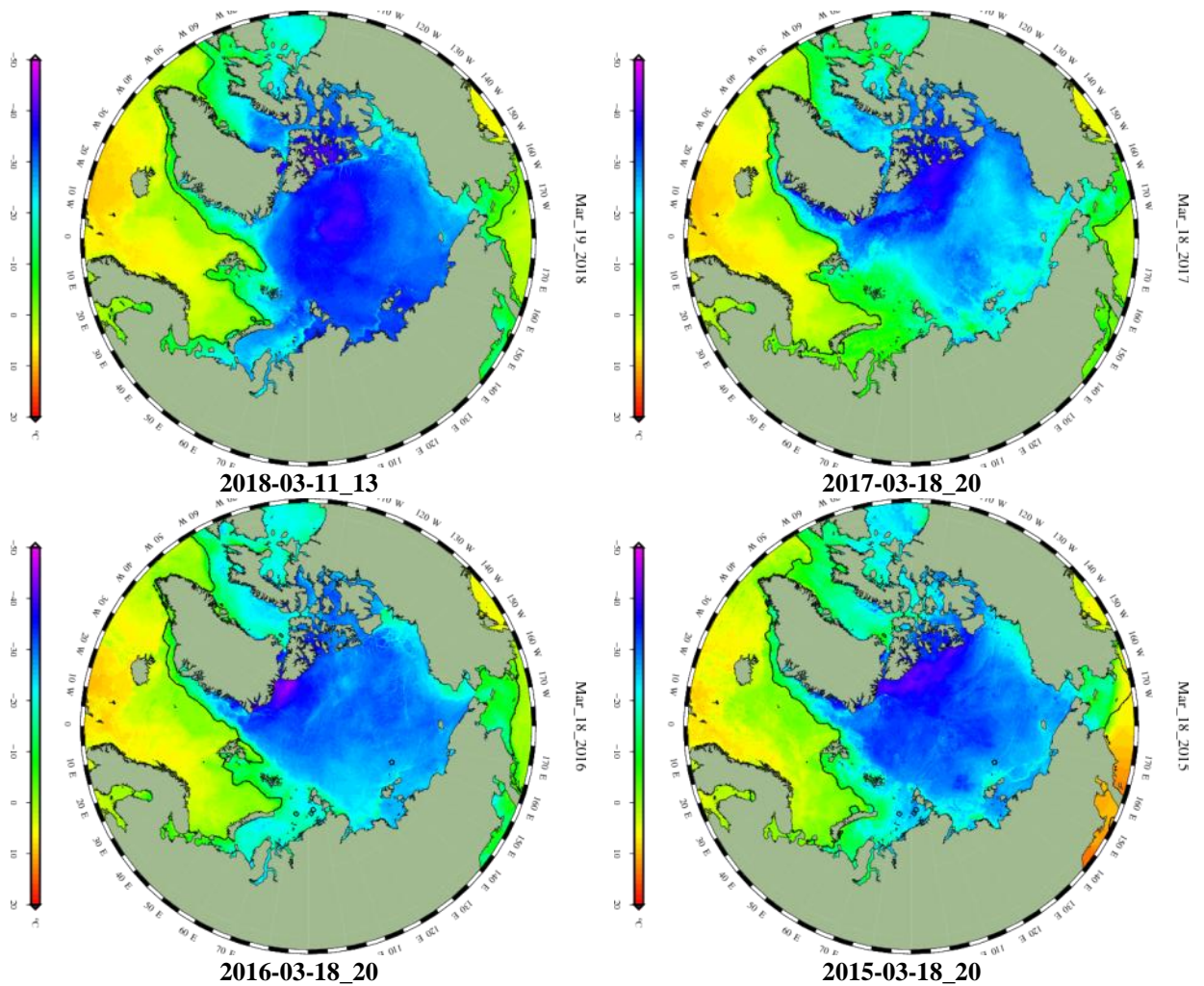


Рисунок 2в – Поля распределения средней за 36-часовые промежутки температуры поверхности морского льда и океана Датского метеорологического института на основе статистической обработки ИК-каналов AVHRR ИСЗ MetOp-A за 18-20.03 2015-2018 гг. (<http://polarportal.dk/en/sea-ice-and-icebergs/sea-ice-temperature/#c8099>)

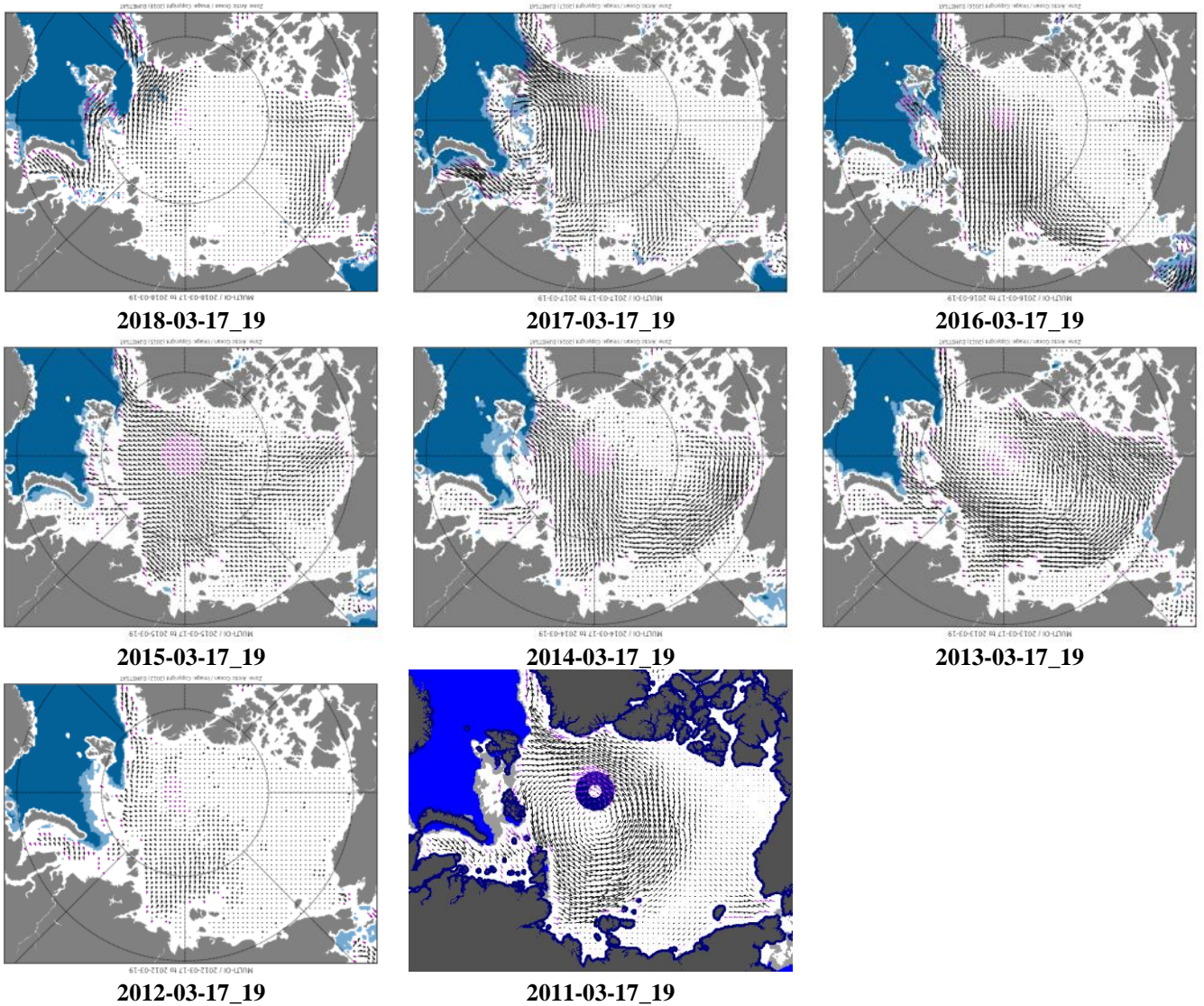


Рисунок 2г – Ежедневные поля дрейфа морского льда Арктики низкого разрешения EUMETSAT OSI-SAF (low resolution sea ice drift product of the EUMETSAT Ocean and Sea Ice Satellite Application Facility - OSI SAF, www.osi-saf.org) за 17-19.03 2011-2018 гг. на основе данных SSMIS (91 GHz H&V pol.) DMSP F17, ASCAT (C-band backscatter) ИСЗ Metop-A и AMSR-2 ИСЗ GCOM-W.

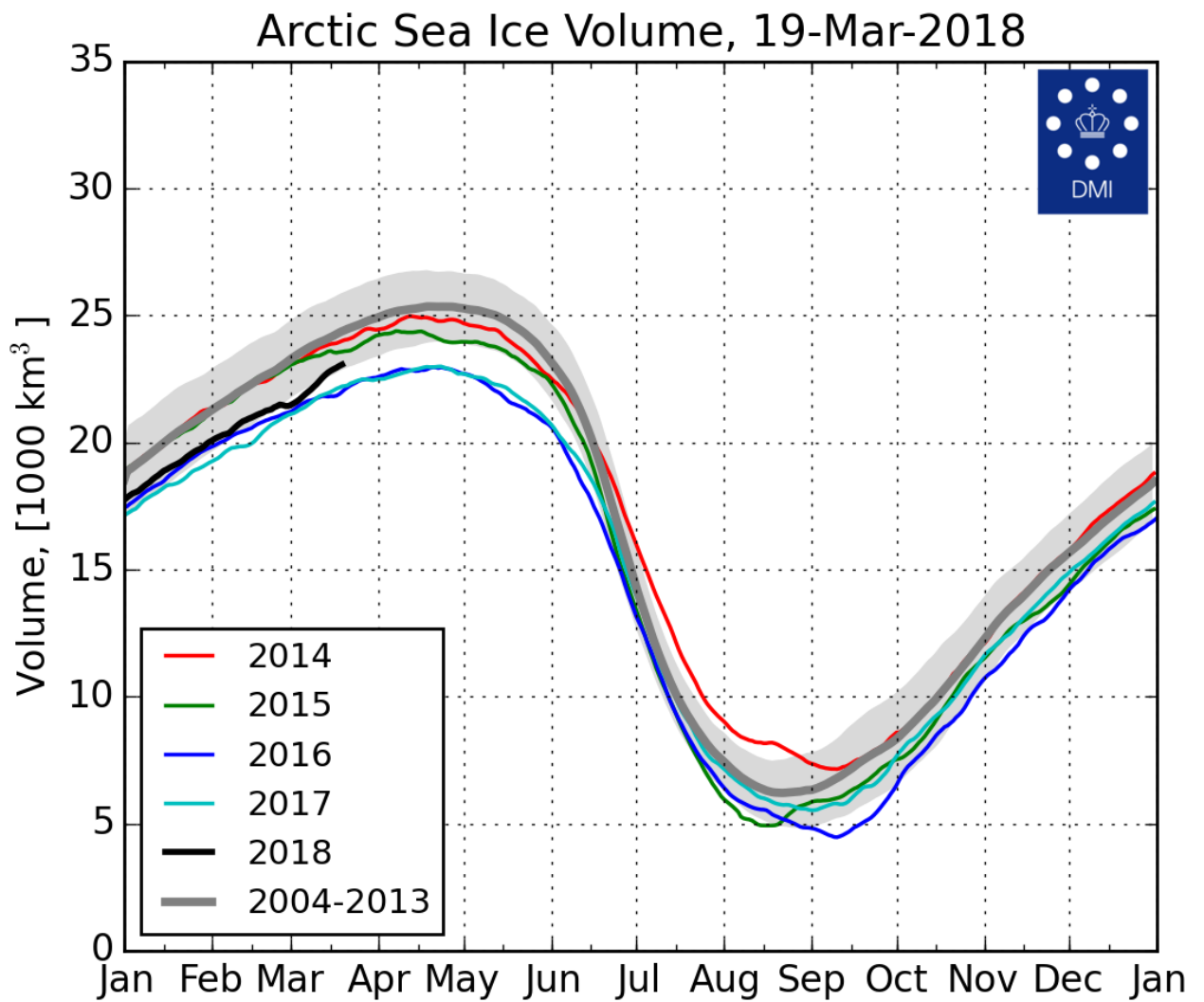
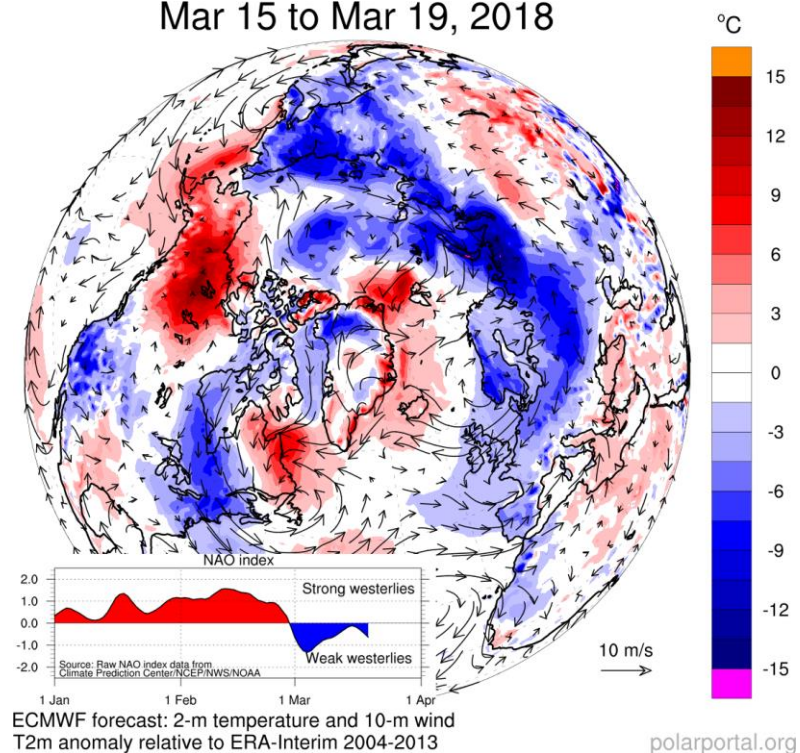


Рисунок 2д – Ежедневные оценки сезонного хода объема морского льда СЛО на основе расчетов средневзвешенной толщины льда совместной модели морского льда – океана HYCOM/CICE Датского метеорологического института с 01.01.2004 по 19.03.2018 гг.

Mar 15 to Mar 19, 2018



Mar 15 to Mar 19, 2017

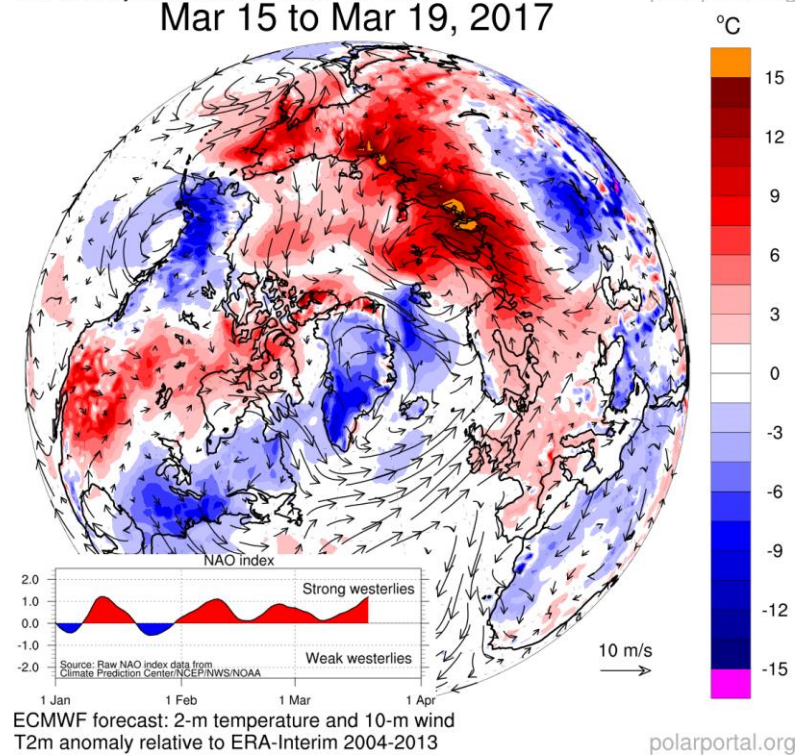


Рисунок 2е – Аномалии приземной температуры воздуха (2м) и осредненные вектора скорости ветра (10 м) за 15-19.03 2017-2018 гг. относительно периода 2004-2013 гг. (<http://polarportal.dk>)

Таблица 1 – Динамика изменения значений ледовитости по сравнению с предыдущей неделей для морей Северной полярной области за 12.03–18.03.2018 г. по данным наблюдений SSMR-SSM/I-SMIS

Регион	Северная полярная область	Сектор 45°W-95°E (Гренландское - Карское моря)	Сектор 95°E-170°W (моря Лаптевых - Чукотское, Берингово, Охотское)	Сектор 170°W-45°W (море Бофорта и Канадская Арктика)	Северный Ледовитый океан	Моря СМП (моря Карское-Чукотское)
Разность	196.7	64.0	134.4	-1.7	90.0	0.0
тыс.кв.км/сут.	28.1	9.1	19.2	-0.2	12.9	0.0

Таблица 2 - Медианные значения ледовитости для Северной полярной области, 3-х меридиональных секторов и моря СМП за текущие 30 и 7-дневные интервалы и её аномалии от 2012-2016 гг. и интервалов 2007-2017 гг. и 1978-2017 гг. по данным наблюдений SSMR-SSM/I-SSMIS, алгоритмы NASATEAM

Северная полярная область

Месяц	S, тыс. км2	Аномалии, тыс км2/%						
		2013 г	2014 г	2015 г	2016 г	2017 г	2008-2018гг	1978-2018гг
19.02-18.03	14271.0	-726.4	-390.1	-116.7	-101.3	-88.9	-455.2	-1153.2
		-4.8	-2.7	-0.8	-0.7	-0.6	-3.1	-7.5
12-18.03	14453.3	-652.1	-397.5	101.4	25.4	117.1	-343.1	-976.3
		-4.3	-2.7	0.7	0.2	0.8	-2.3	-6.3

Сектор 45°W-95°E (Гренландское - Карское моря)

Месяц	S, тыс. км2	Аномалии, тыс км2/%						
		2013 г	2014 г	2015 г	2016 г	2017 г	2008-2018гг	1978-2018гг
19.02-18.03	3118.5	-344.4	19.3	-96.0	305.1	-68.2	-136.0	-557.3
		-9.9	0.6	-3.0	10.8	-2.1	-4.2	-15.2
12-18.03	3284.3	-294.4	117.4	204.0	458.1	58.7	18.9	-388.8
		-8.2	3.7	6.6	16.2	1.8	0.6	-10.6

Сектор 95°E-170°W (моря Лаптевых - Чукотское, Берингово, Охотское)

Месяц	S, тыс. км2	Аномалии, тыс км2/%						
		2013 г	2014 г	2015 г	2016 г	2017 г	2008-2018гг	1978-2018гг
19.02-18.03	4637.5	-423.4	-157.2	213.3	-403.1	28.4	-217.8	-363.9
		-8.4	-3.3	4.8	-8.0	0.6	-4.5	-7.3
12-18.03	4763.4	-293.4	-58.2	403.8	-283.4	274.5	-92.9	-240.9
		-5.8	-1.2	9.3	-5.6	6.1	-1.9	-4.8

Сектор 170°W-45°W (море Бофорта и Канадская Арктика)

Месяц	S, тыс. км2	Аномалии, тыс км2/%						
		2013 г	2014 г	2015 г	2016 г	2017 г	2008-2018гг	1978-2018гг
19.02-18.03	6515.0	41.5	-252.1	-233.9	-3.3	-49.1	-101.4	-232.1
		0.6	-3.7	-3.5	-0.1	-0.7	-1.5	-3.4
12-18.03	6405.5	-64.3	-456.7	-506.3	-149.4	-216.3	-269.1	-346.7
		-1.0	-6.7	-7.3	-2.3	-3.3	-4.0	-5.1

Северный Ледовитый океан

Месяц	S, тыс. км2	Аномалии, тыс км2/%						
		2013 г	2014 г	2015 г	2016 г	2017 г	2008-2018гг	1978-2018гг
19.02-18.03	11444.7	-333.3	-48.4	-194.4	225.8	-150.7	-146.1	-499.7
		-2.8	-0.4	-1.7	2.0	-1.3	-1.3	-4.2
12-18.03	11604.8	-274.7	42.0	75.1	364.0	-35.8	-7.9	-342.9
		-2.3	0.4	0.7	3.2	-0.3	-0.1	-2.9

Моря СМП (моря Карское-Чукотское)

Месяц	S, тыс. км2	Аномалии, тыс км2/%						
		2013 г	2014 г	2015 г	2016 г	2017 г	2008-2018гг	1978-2018гг
19.02-18.03	3021.0	-4.7	10.2	-3.8	21.1	-1.9	6.9	-1.1
		-0.2	0.3	-0.1	0.7	-0.1	0.2	0.0
12-18.03	3025.9	0.0	2.0	3.2	22.8	6.7	8.7	3.0
		0.0	0.1	0.1	0.8	0.2	0.3	0.1

Таблица 3 – Экстремальные и средние значения ледовитости для Северной полярной области, 3 меридиональных секторов и моря СМП за текущий 7-дневный интервал по данным наблюдений SSMR-SSM/I-SSMIS, алгоритмы NASATEAM

Северная полярная область

Месяц	Минимальное знач.	Максимальное знач.	Среднее знач.	Медиана
12-18.03	14193.2 18.03.2017	16633.0 18.03.1979	15429.5	15484.2

Сектор 45°W-95°E (Гренландское - Карское моря)

Месяц	Минимальное знач.	Максимальное знач.	Среднее знач.	Медиана
12-18.03	2769.8 13.03.2016	4532.6 18.03.1979	3673.1	3720.4

Сектор 95°E-170°W (моря Лаптевых - Чукотское, Берингово, Охотское)

Месяц	Минимальное знач.	Максимальное знач.	Среднее знач.	Медиана
12-18.03	4346.7 14.03.2015	5507.3 14.03.2001	5004.3	5024.1

Сектор 170°W-45°W (море Бофорта и Канадская Арктика)

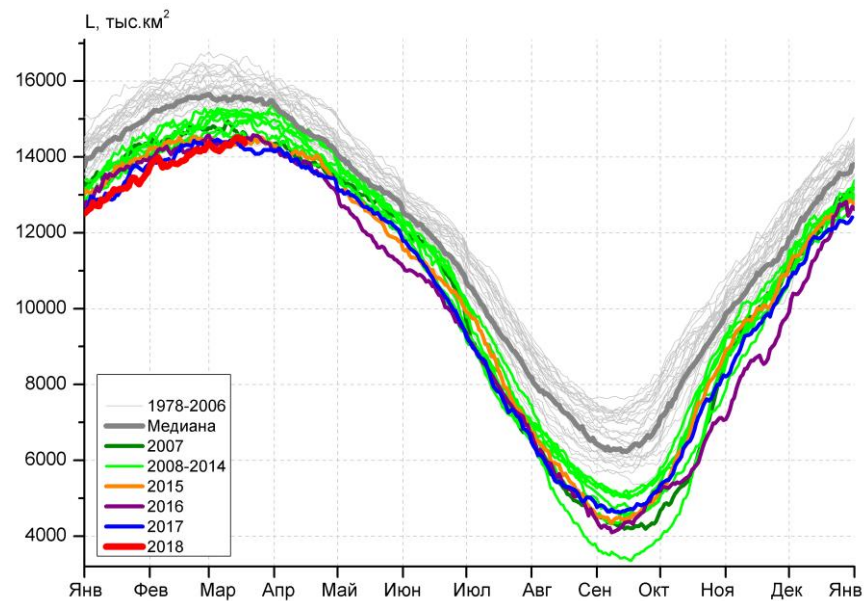
Месяц	Минимальное знач.	Максимальное знач.	Среднее знач.	Медиана
12-18.03	6212.4 18.03.2005	7247.2 13.03.1990	6752.2	6770.8

Северный Ледовитый океан

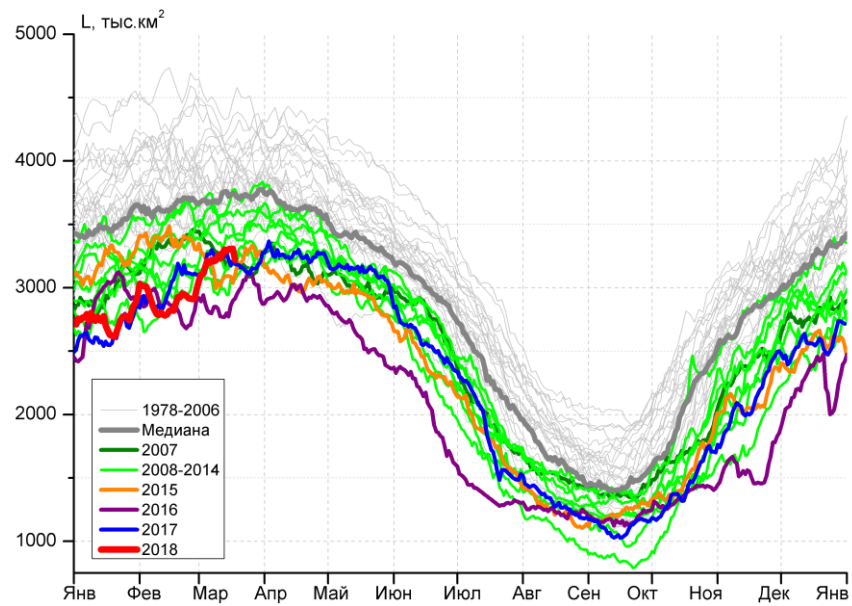
Месяц	Минимальное знач.	Максимальное знач.	Среднее знач.	Медиана
12-18.03	11175.1 15.03.2016	12668.2 18.03.1979	11947.7	11972.5

Моря СМП (моря Карское-Чукотское)

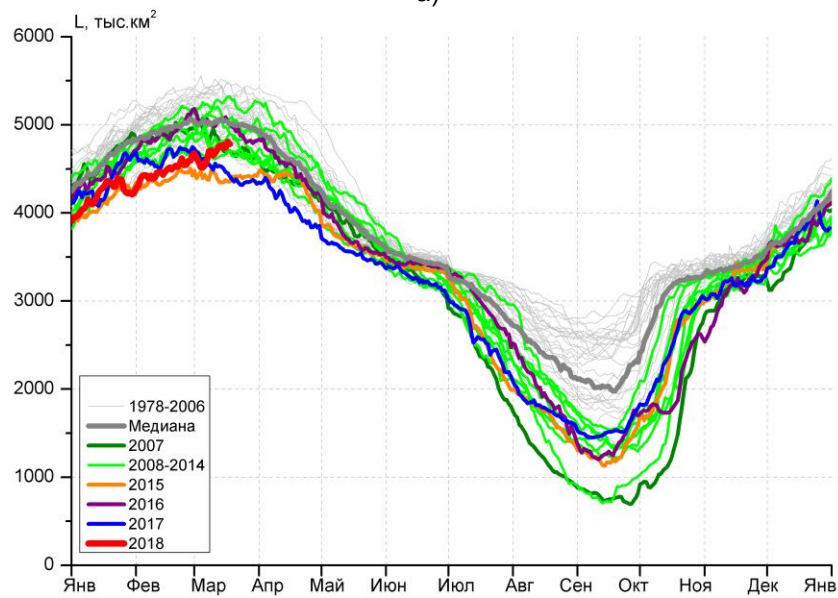
Месяц	Минимальное знач.	Максимальное знач.	Среднее знач.	Медиана
12-18.03	2938.5 14.03.2012	3025.9 12.03.1979	3022.9	3025.9



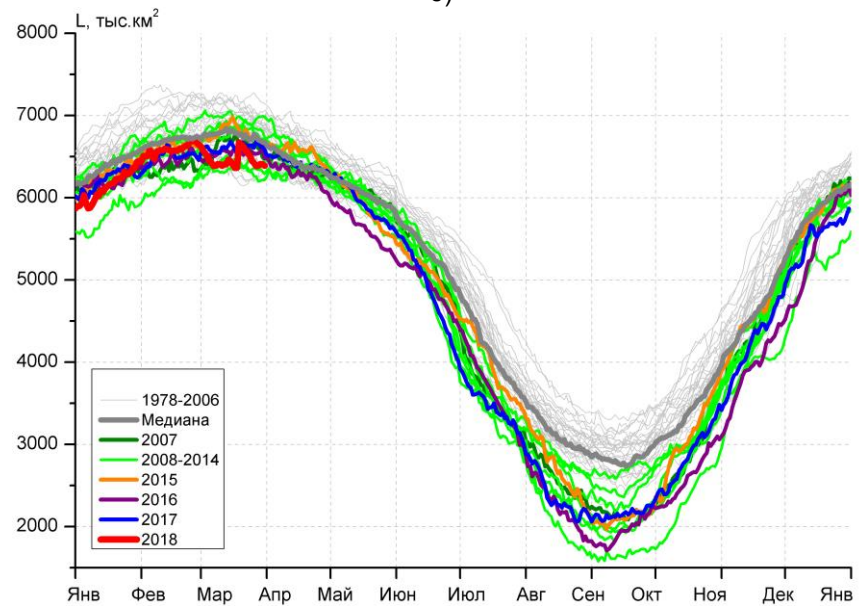
а)



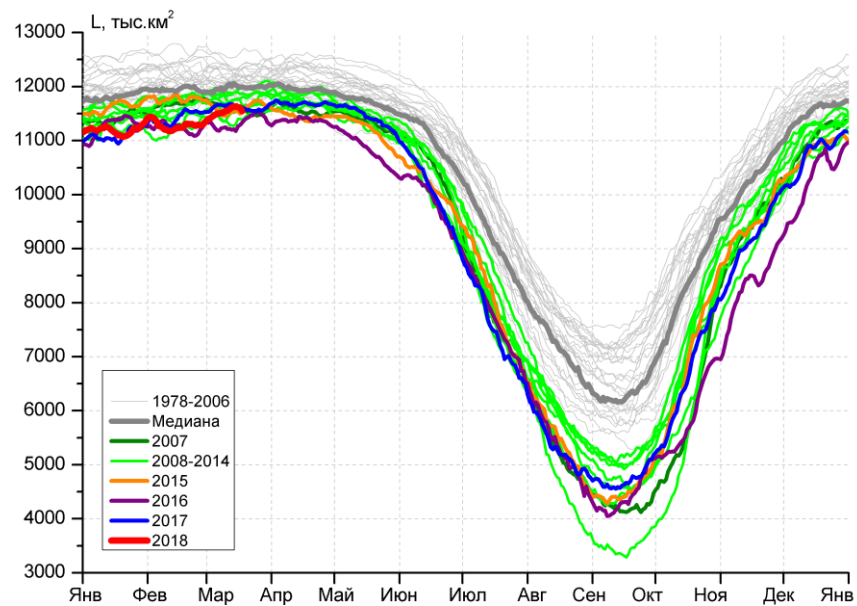
б)



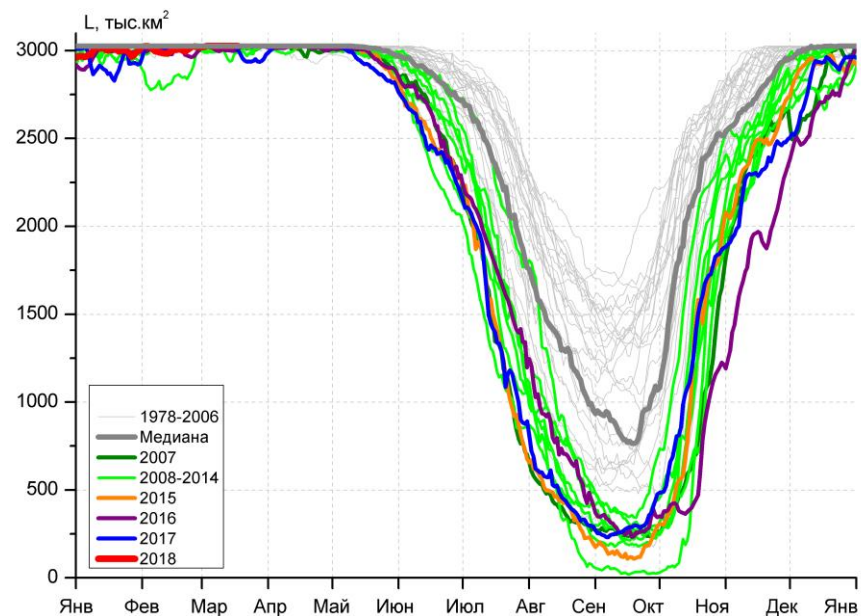
в)



г)



д)



е)

Рисунок 3 – Ежедневные оценки сезонного хода ледовитости для Северной Полярной Области и трех меридиональных секторов за период 26.10.1978 - 18.03.2018 по годам на основе расчетов по данным SSMR-SSM/I-SSMIS, алгоритмы NASATEAM: а) Северная полярная область, б) сектор 45°W-95°E (Гренландское – Карское моря), в) сектор 95°E-170°W (моря Лаптевых – Чукотское и Берингово, Охотское), г) сектор 170°W-45°W (море Бофорта и Канадская Арктика), д) Северный Ледовитый океан, е) Северный морской путь (Карское - Чукотское моря).

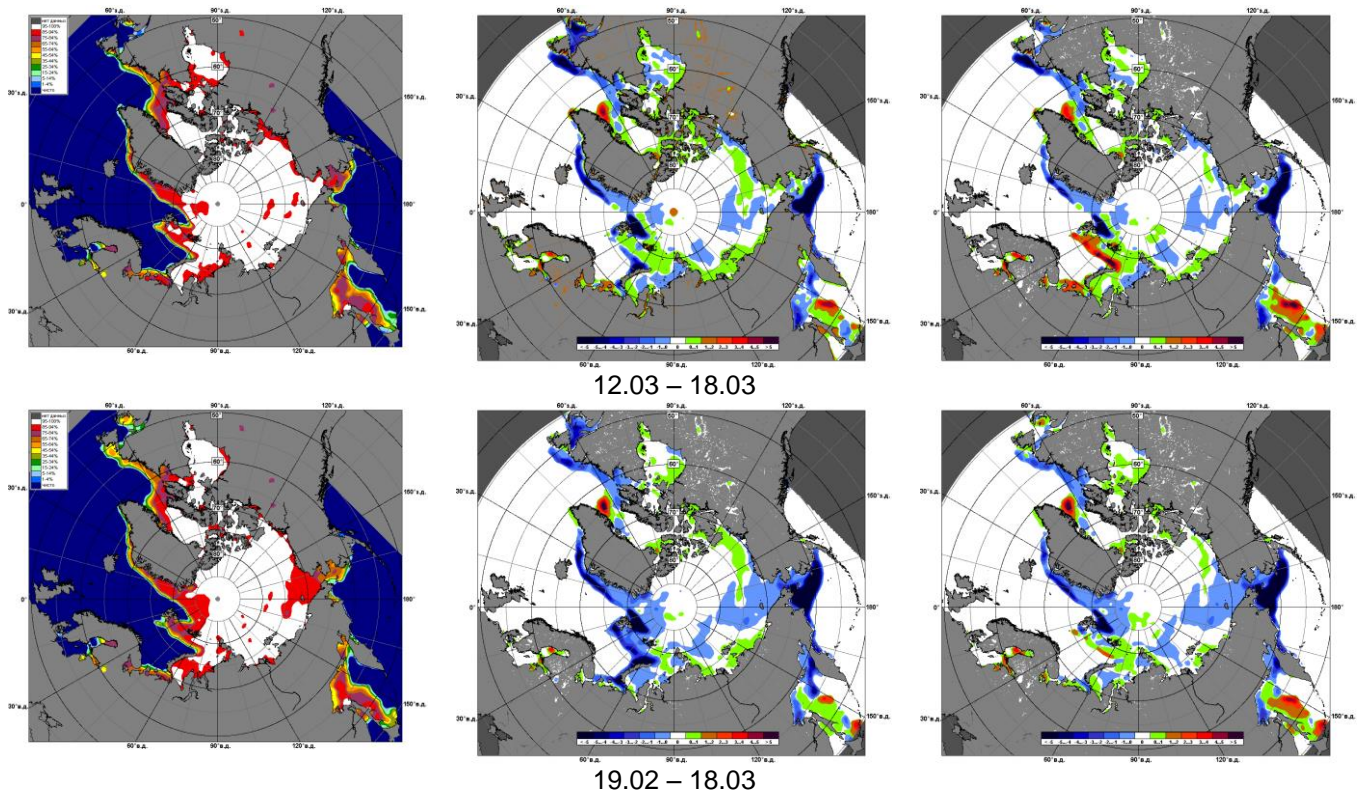


Рисунок 4 – Медианные распределения сплоченности льда за текущие 7 дневные промежутки и её разности относительно медианного распределения за те же месяца за периоды 1979-2018 (центр) и 2008-2018 гг. (справа) на основе расчетов по данным SSMR-SSM/I-SSMIS, алгоритмы NASATEAM.

Южный океан

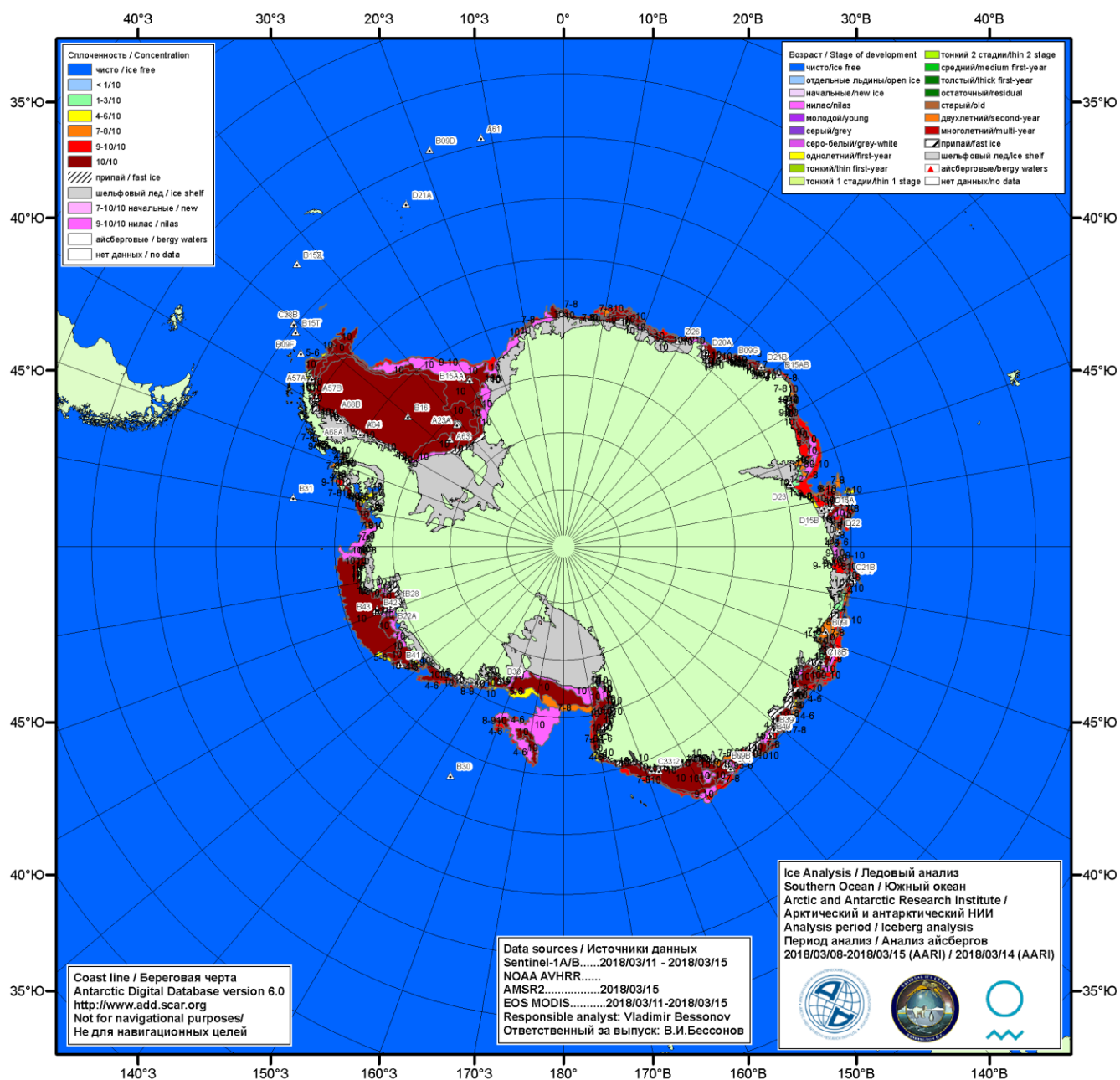


Рисунок 5а – Ледовая карта Южного океана (цветовая окраска по общей сплоченности) и расположение крупных айсбергов на основе информации совместного ледового анализа НЛЦ США, ААНИИ и НМИ (Норвегия) за 15.03.2018.

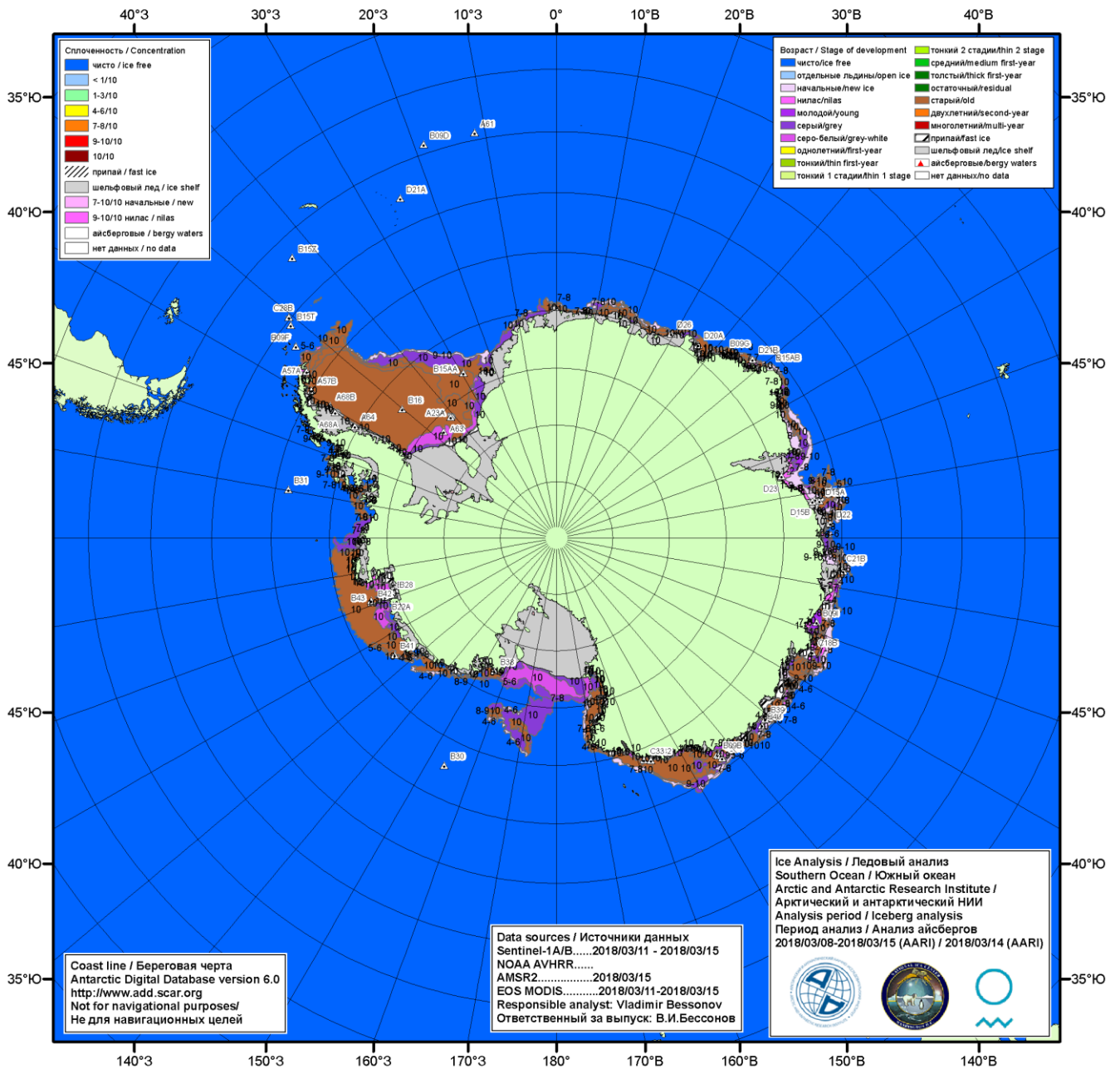


Рисунок 5б – Ледовая карта Южного океана (цветовая окраска по возрасту) и расположение крупных айсбергов на основе информации совместного ледового анализа НЛЦ США, ААНИИ и НМИ (Норвегия) за 15.03.2018.

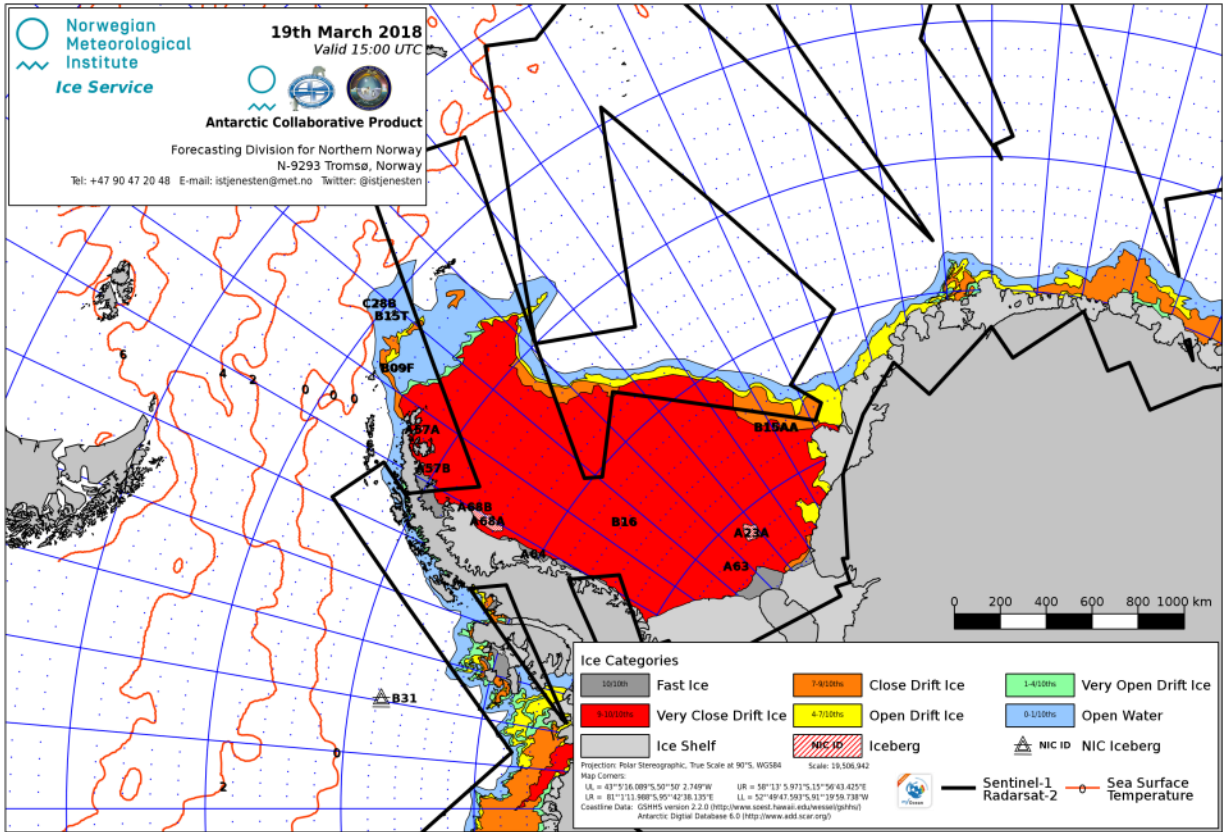


Рисунок 5в – Ледовая карта акватории Антарктического полуострова и моря Уэдделла (цветовая окраска по возрасту) и расположение крупных айсбергов на основе информации совместного ледового анализа НМИ (Норвегия), НЛЦ США и ААНИИ за 19.03.2018.

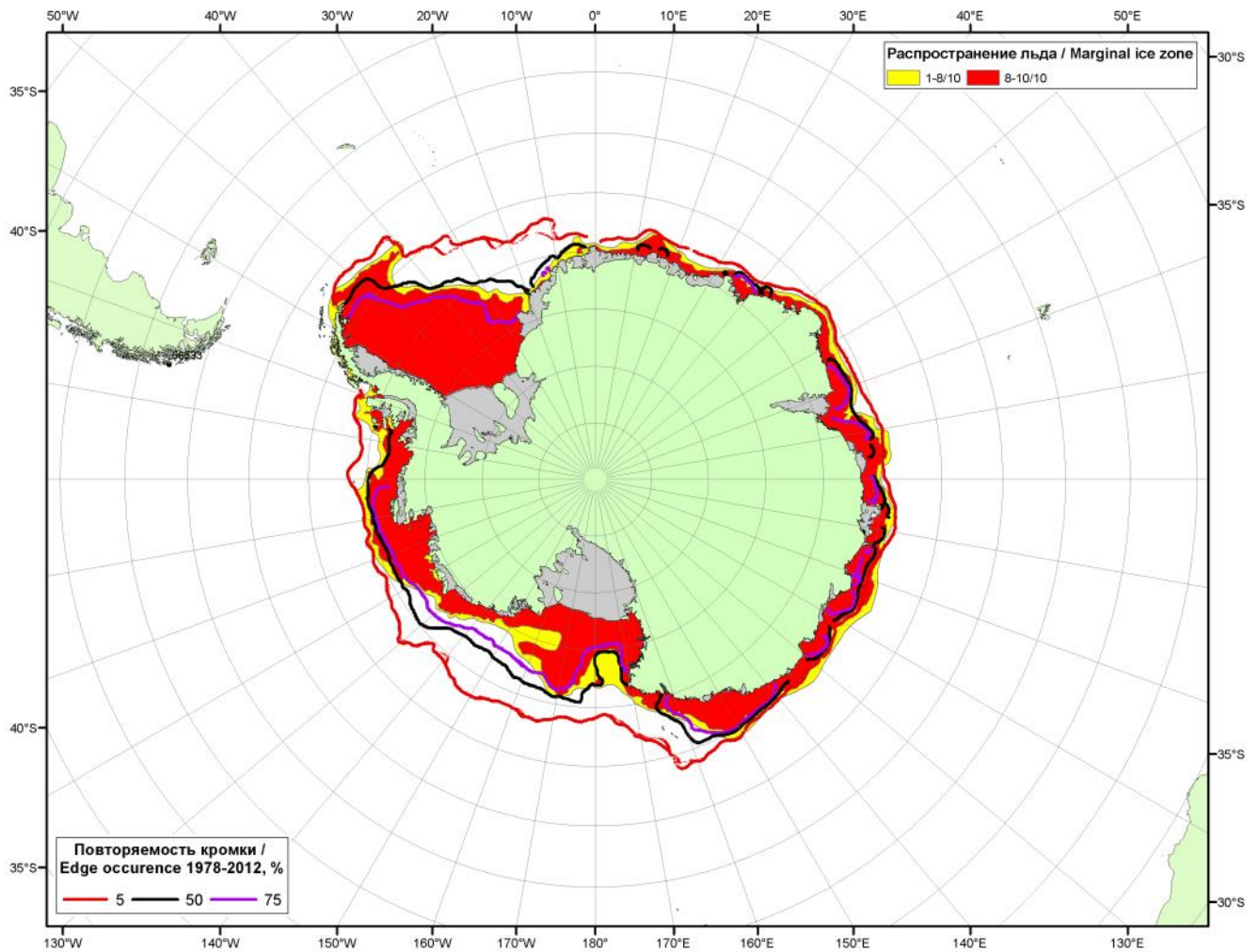


Рисунок 5г – Положение кромки льда и зон разреженных ($<8/10$) и сплошных ($\geq 8/10$) льдов Южного океана за 20.03.2018 г. на основе ледового анализа Национального Ледового Центра США, положение метеорологической дрейфующих буев IABP и Argos на 20.03.2018T1200+00 и повторяемость кромки за 16-20.03 за период 1979-2012 гг. по наблюдениям SSMR-SSM/I-SSMIS (алгоритм NASATEAM).

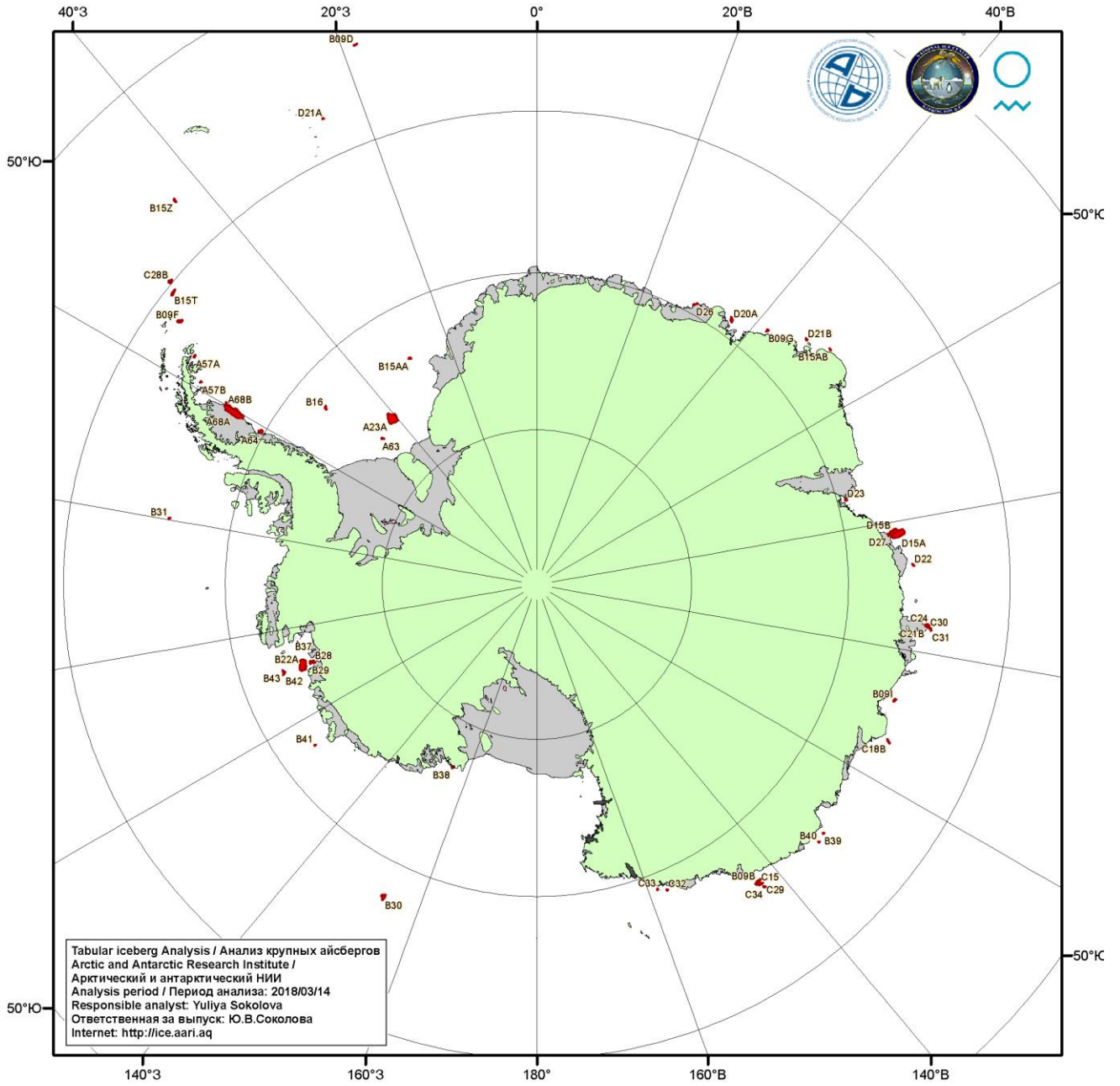
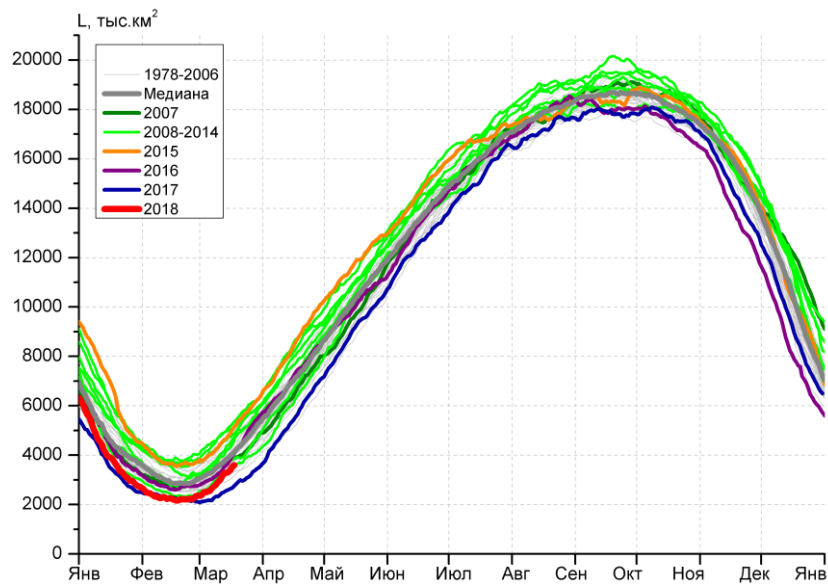


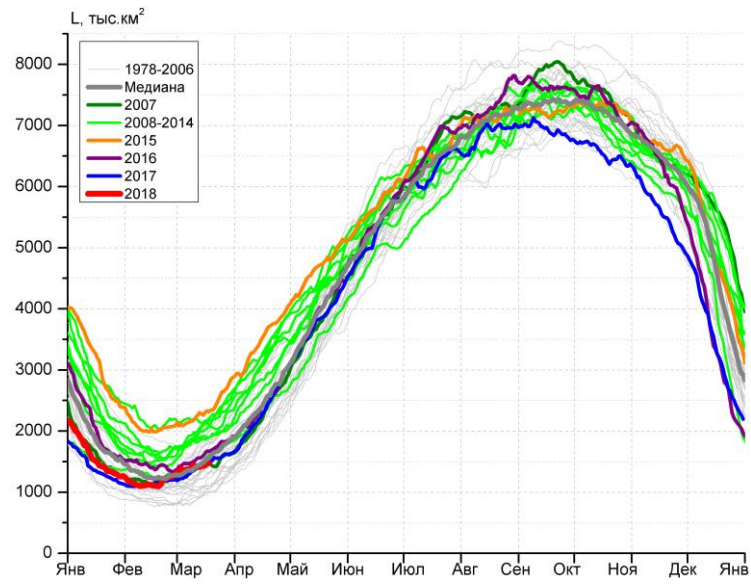
Рисунок 5д – Анализ ААНИИ крупных айсбергов Южного океана за 14.03.2018.

Таблица 4 – Линейные размеры крупных айсбергов Южного океана на основе анализа ААНИИ за 14.08.2018

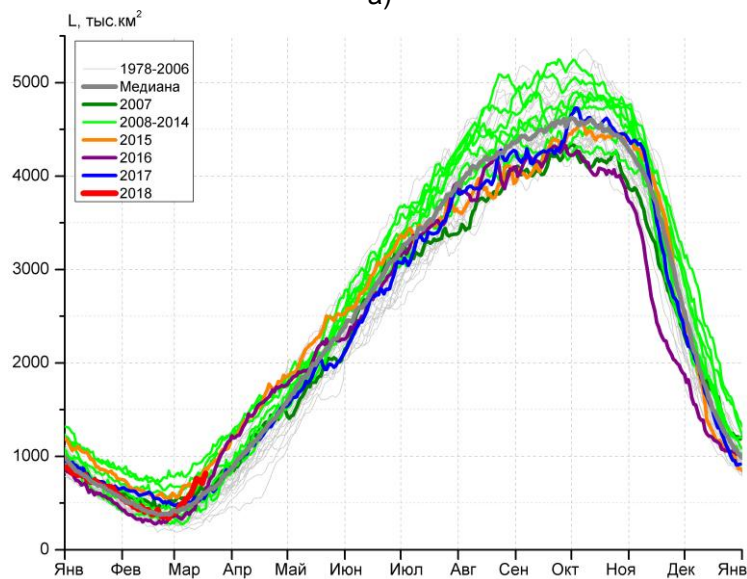
Имя	Длина, км	Ширина, км	Площадь, кв.км	Имя	Длина, км	Ширина, км	Площадь, кв.км
A68A	156	50	6053	D26	33	2	149
A23A	81	74	3996	D27	15	11	147
D15A	94	44	3587	A63	20	6	134
B22A	81	44	3194	C34	20	9	133
D15B	61	22	1185	B29	20	9	118
B30	46	31	714	B09D	28	6	117
B09B	50	19	605	D22	22	6	111
B09F	37	15	519	B15AB	20	7	109
B15T	46	11	493	B39	15	7	103
A64	30	20	461	B31	17	9	101
D20A	39	17	455	A57B	13	7	98
C28B	33	22	434	B43	19	9	95
C15	26	19	342	C30	17	6	93
C21B	22	15	317	C29	13	9	91
C18B	37	7	243	B40	15	9	90
B15Z	31	13	241	C33	15	7	88
B16	30	11	226	B38	11	7	87
B42	31	9	226	A68B	13	7	86
B09I	22	11	222	C32	11	9	86
B15AA	20	11	207	C24	20	6	85
B09G	22	13	200	C31	17	6	84
B28	19	13	196	B37	15	6	82
A57A	20	9	194	B41	15	7	82
D23	15	11	164	D21A	19	6	63
D21B	20	7	150	A61	24	7	56



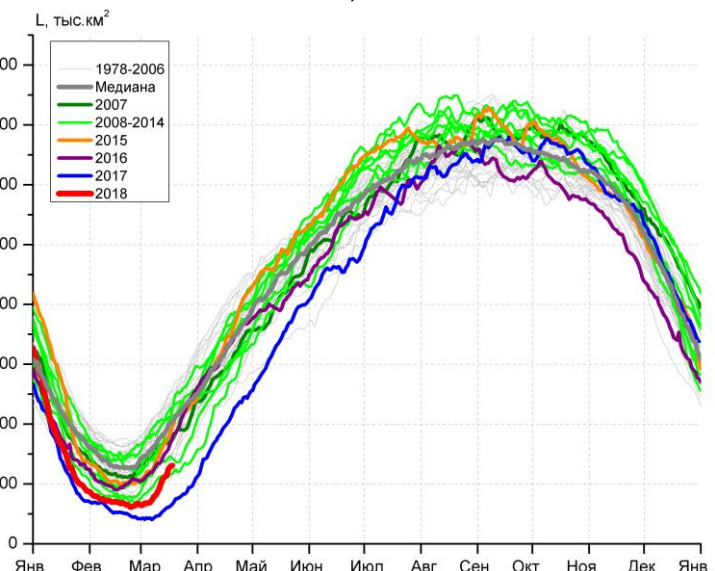
а)



б)



в)



г)

Рисунок 7 – Ежедневные оценки сезонного хода ледовитости Южного Океана и меридиональных секторов за период 26.10.1978 – 18.03.2018 по годам на основе расчетов по данным SSMR-SSM/I-SSMIS, алгоритм NASATEAM: а) Южный Океан, б) Атлантический сектор (60°W-30°E, море Уэдделла), в) Индоокеанский сектор (30°E-150°E, моря Космонавтов, Содружества, Моусона), г) Тихоокеанский сектор (150°E-60°W, моря Росса, Беллингаузена)

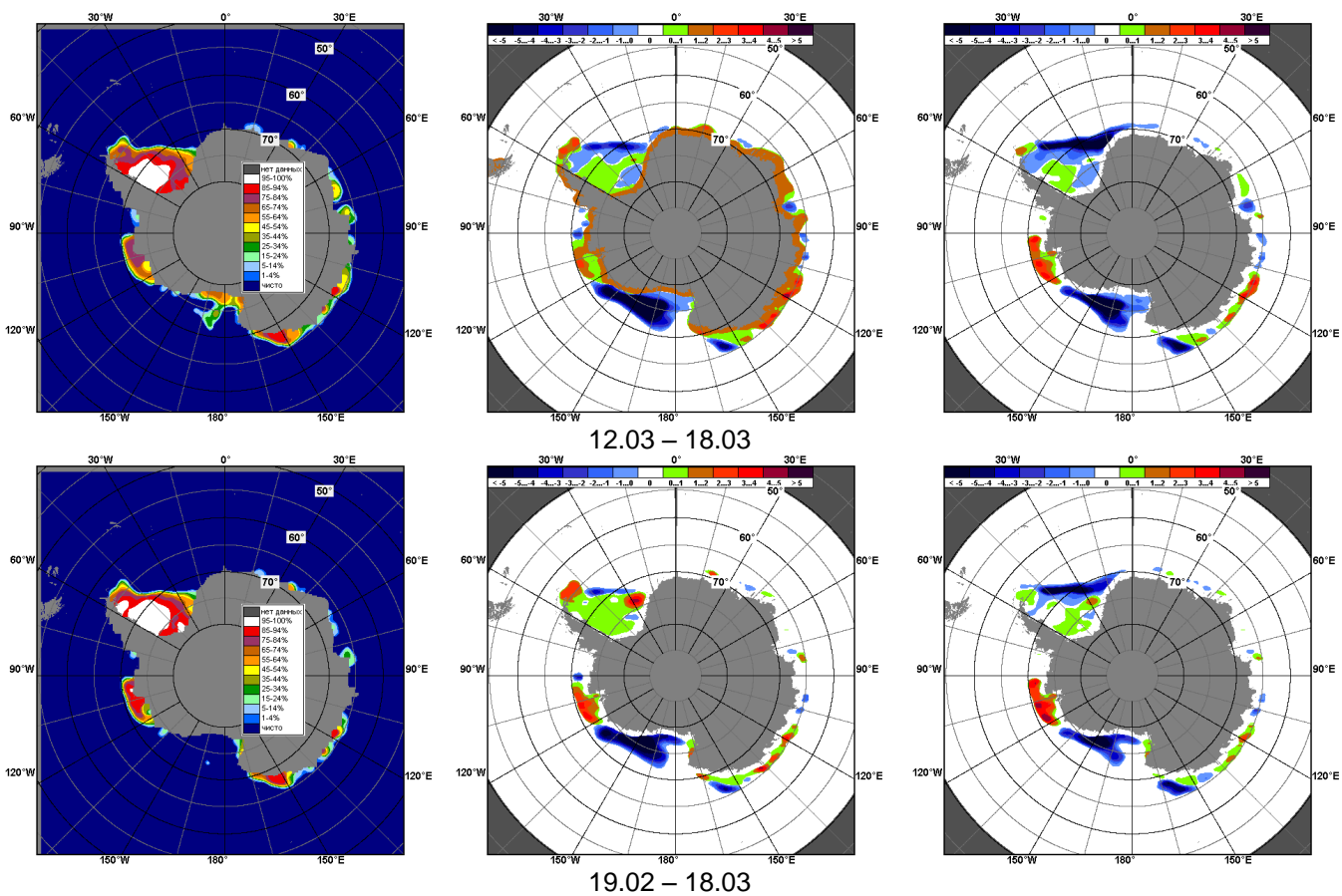


Рисунок 8 – Медианные распределения общей сплоченности льда за текущие 7 дневные промежутки (слева) и её разности относительно медианного распределения за тот же месяц за периоды 1978-2018 (центр) и 2008-2018 гг. (справа) на основе расчетов по данным SSMR-SSM/I-SSMIS, алгоритм NASATEAM

Таблица 5 – Динамика изменения значений ледовитости по сравнению с предыдущей неделей для морей Южного океана за 12.03 - 18.03.2018 г. по данным наблюдений SSMR-SSM/I-SSMIS

Регион	Южный Океан	Атлантический сектор	Индоеокеанский сектор	Тихоокеанский сектор
Разность	620.5	38.8	192.2	389.6
тыс.кв.км/сут.	88.6	5.5	27.5	55.7

Таблица 6 - Медианные значения ледовитости для Южного океана и 3 меридиональных секторов за текущие 30 и 7-дневные интервалы и её аномалии от 2012-2016 гг. и интервалов 2007-2017 гг. и 1978-2017 гг. по данным наблюдений SSMR-SSM/I-SSMIS, алгоритм NASATEAM

Южный Океан

Месяц	S, тыс. км2	Аномалии, тыс км2/%						
		2013 г	2014 г	2015 г	2016 г	2017 г	2008-2018гг	1978-2018гг
19.02-18.03	2675.0	-1609.0	-1379.1	-1420.3	-420.9	381.0	-789.0	-635.5
		-37.6	-34.0	-34.7	-13.6	16.6	-22.8	-19.2
12-18.03	3362.9	-1641.3	-1322.3	-1445.4	-355.0	762.1	-727.5	-534.2
		-32.8	-28.2	-30.1	-9.5	29.3	-17.8	-13.7

Атлантический сектор (60°W-30°E, море Уэдделла)

Месяц	S, тыс. км2	Аномалии, тыс км2/%						
		2013 г	2014 г	2015 г	2016 г	2017 г	2008-2018гг	1978-2018гг
19.02-18.03	1334.6	-500.0	-823.8	-814.3	-139.4	47.8	-354.4	-50.1
		-27.3	-38.2	-37.9	-9.5	3.7	-21.0	-3.6
12-18.03	1436.8	-656.8	-727.7	-856.9	-172.9	-14.1	-415.5	-90.3
		-31.4	-33.6	-37.4	-10.7	-1.0	-22.4	-5.9

Индоеокеанский сектор (30°E-150°E, моря Космонавтов, Содружества, Моусона)

Месяц	S, тыс. км2	Аномалии, тыс км2/%						
		2013 г	2014 г	2015 г	2016 г	2017 г	2008-2018гг	1978-2018гг
19.02-18.03	522.5	-155.6	-188.9	-129.5	126.9	2.4	-25.5	58.3
		-22.9	-26.6	-19.9	32.1	0.5	-4.7	12.6
12-18.03	750.3	-67.0	-61.0	-19.3	198.9	192.0	78.1	177.6
		-8.2	-7.5	-2.5	36.1	34.4	11.6	31.0

Тихоокеанский сектор (150°E-60°W, моря Росса, Беллингаузена)

Месяц	S, тыс. км2	Аномалии, тыс км2/%						
		2013 г	2014 г	2015 г	2016 г	2017 г	2008-2018гг	1978-2018гг
19.02-18.03	817.8	-953.4	-366.5	-476.5	-408.4	330.9	-409.0	-643.7
		-53.8	-30.9	-36.8	-33.3	67.9	-33.3	-44.0
12-18.03	1175.9	-917.4	-533.6	-569.1	-381.0	584.3	-390.1	-621.5
		-43.8	-31.2	-32.6	-24.5	98.8	-24.9	-34.6

Таблица 6 – Экстремальные значения ледовитости для Южного океана и 3 меридиональных секторов за текущий 7-дневный интервал по данным наблюдений SSMR-SSM/I-SSMIS, алгоритм NASATEAM

Южный Океан

Месяц	Минимальное знач.	Максимальное знач.	Среднее знач.	Медиана
12-18.03	2478.8 12.03.2017	5321.3 18.03.2008	3897.2	3843.7

Атлантический сектор (60°W-30°E, море Уэдделла)

Месяц	Минимальное знач.	Максимальное знач.	Среднее знач.	Медиана
12-18.03	883.8 12.03.1981	2331.1 17.03.2015	1527.1	1472.0

Индоеокеанский сектор (30°E-150°E, моря Космонавтов, Содружества, Моусона)

Месяц	Минимальное знач.	Максимальное знач.	Среднее знач.	Медиана
12-18.03	217.5 12.03.1986	971.6 18.03.2008	572.7	558.3

Тихоокеанский сектор (150°E-60°W, моря Росса, Беллингаузена)

Месяц	Минимальное знач.	Максимальное знач.	Среднее знач.	Медиана
12-18.03	520.8 12.03.2017	2577.8 18.03.1988	1797.3	1832.6

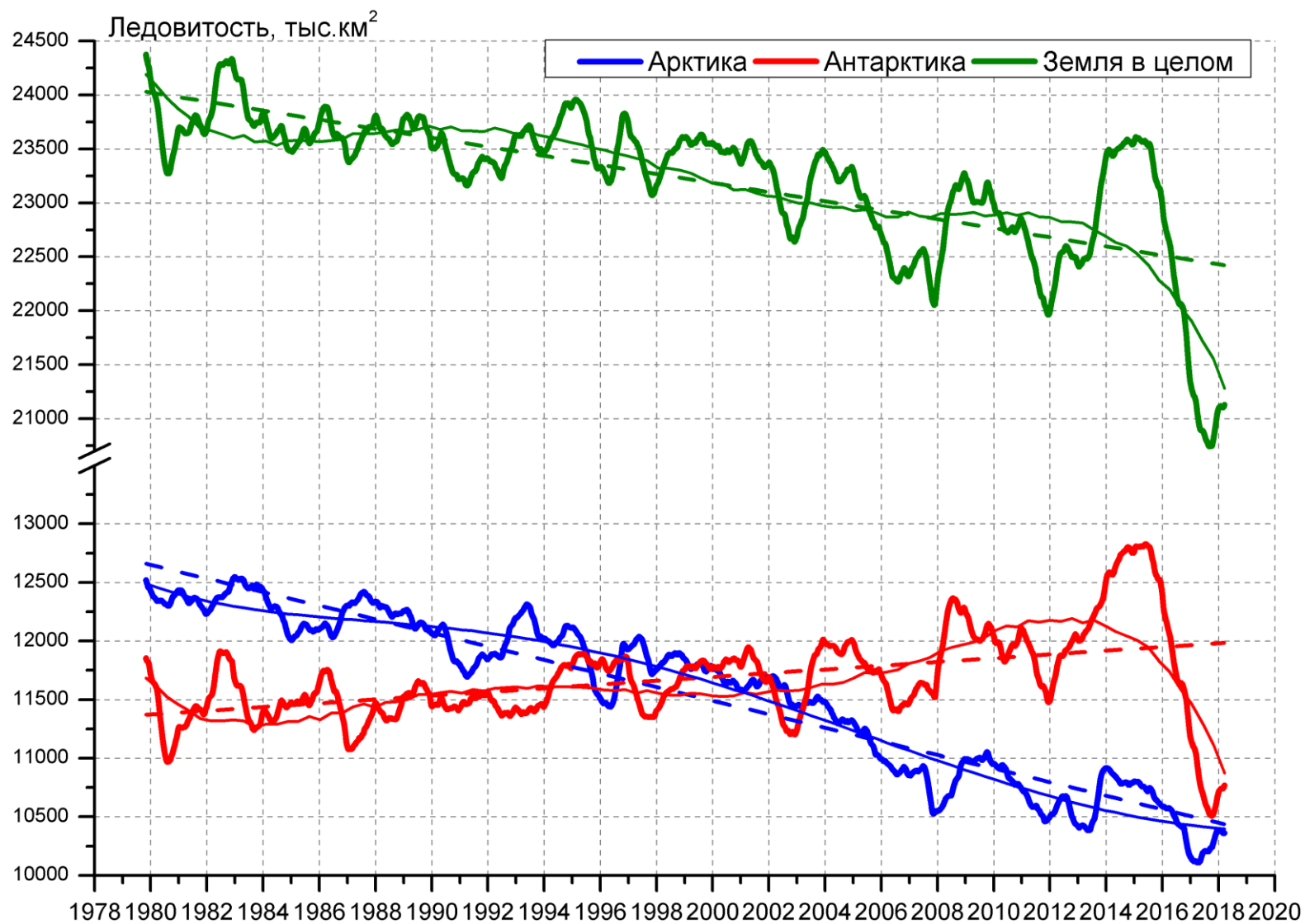


Рисунок 9 – Ежедневные сглаженные окном 365 суток значения ледовитости Арктики, Антарктики и Земли в целом с 26.10.1978 по 18.03.2018 на основе SSMR-SSM/I-SSMIS

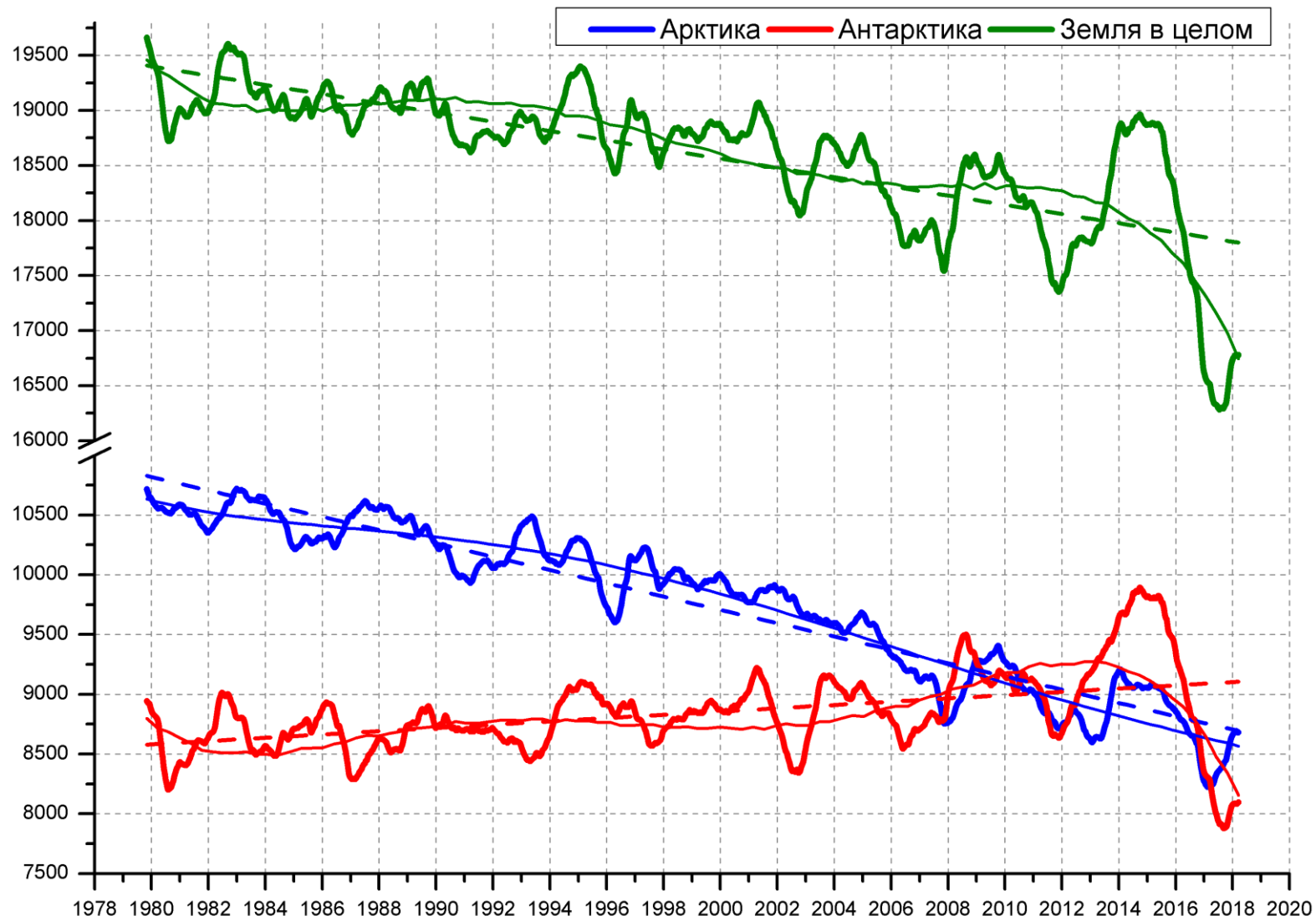


Рисунок 10 – Ежедневные сглаженные окном 365 суток значения приведенной ледовитости (площади морского льда) Арктики, Антарктики и Земли в целом с 26.10.1978 по 18.03.2018 на основе SSMR-SSM/I-SSMIS

Приложение 1 – Статистические значения ледовитостей по отдельным акваториям Северной Полярной Области и Южного океана

Таблица 7 – Средние, аномалии среднего и экстремальные значения ледовитостей для Северной полярной области и её отдельных акваторий за текущие 7-дневный (неделя) и 30-дневный промежутки времени по данным наблюдений SSMR-SSM/I-SSMIS, алгоритм NASATEAM за период 1978-2017 гг.

12-18.03

Регион	S, тыс. км2	Аномалии, тыс км2/%							1978-2018гг			
		2012 г	2014 г	2015 г	2016 г	2017 г	2008-2018гг	1978-2018гг	Минимум дата	Максимум дата	Среднее	Медиана
Сев. полярная область	14453.3	-697.2	-397.5	101.4	25.4	117.1	-343.1	-976.3	14193.2	16633.0	15429.5	15484.2
		-4.6	-2.7	0.7	0.2	0.8	-2.3	-6.3	18.03.2017	18.03.1979		
Сектор 45°W-95°E	3284.3	275.9	117.4	204.0	458.1	58.7	18.9	-388.8	2769.8	4532.6	3673.1	3720.4
		9.2	3.7	6.6	16.2	1.8	0.6	-10.6	13.03.2016	18.03.1979		
Гренландское море	597.5	-94.8	-94.8	-61.8	-5.9	-87.6	-88.2	-207.9	575.4	1049.2	805.4	787.9
		-13.7	-13.7	-9.4	-1.0	-12.8	-12.9	-25.8	12.03.2016	12.03.1988		
Баренцево море	645.1	252.8	138.5	165.9	336.7	131.3	95.0	-98.2	266.0	1191.3	743.4	763.5
		64.4	27.3	34.6	109.1	25.5	17.3	-13.2	15.03.2016	18.03.1979		
Карское море	839.2	57.7	2.0	3.2	22.8	6.7	8.7	3.0	751.8	839.2	836.2	839.2
		7.4	0.2	0.4	2.8	0.8	1.0	0.4	14.03.2012	12.03.1979		
Сектор 95°E-170°W	4763.4	-521.7	-58.2	403.8	-283.4	274.5	-92.9	-240.9	4346.7	5507.3	5004.3	5024.1
		-9.9	-1.2	9.3	-5.6	6.1	-1.9	-4.8	14.03.2015	14.03.2001		
Море Лаптевых	674.3	0.0	0.0	0.0	0.0	0.0	0.0	0.0	674.3	674.3	674.3	674.3
		0.0	0.0	0.0	0.0	0.0	0.0	0.0	12.03.1979	12.03.1979		
Восточно-Сибирское море	915.1	0.0	0.0	0.0	0.0	0.0	0.0	0.0	914.5	915.1	915.1	915.1
		0.0	0.0	0.0	0.0	0.0	0.0	0.0	13.03.1993	12.03.1979		
Чукотское море	597.3	0.0	0.0	0.0	0.0	0.0	0.0	0.0	596.7	597.3	597.3	597.3
		0.0	0.0	0.0	0.0	0.0	0.0	0.0	12.03.1989	12.03.1979		
Берингово море	411.4	-671.1	-411.0	-195.1	-250.4	-203.6	-360.2	-343.1	380.4	1104.8	754.6	753.0
		-62.0	-50.0	-32.2	-37.8	-33.1	-46.7	-45.5	12.03.2018	18.03.2012		
Сектор 170°W-45°W	6405.5	-451.3	-456.7	-506.3	-149.4	-216.3	-269.1	-346.7	6212.4	7247.2	6752.2	6770.8
		-6.6	-6.7	-7.3	-2.3	-3.3	-4.0	-5.1	18.03.2005	13.03.1990		
Море Бофорта	486.6	0.0	0.0	0.0	0.0	0.0	0.0	0.0	485.9	486.6	486.6	486.6
		0.0	0.0	0.0	0.0	0.0	0.0	0.0	18.03.2006	12.03.1979		
Гудзонов залив	837.2	-0.9	-1.8	0.1	0.0	0.1	-1.0	-1.6	833.4	839.0	838.8	839.0
		-0.1	-0.2	0.0	0.0	0.0	-0.1	-0.2	18.03.2012	12.03.1979		
Море Лабрадор	217.7	-134.5	-139.7	-122.5	-164.4	-39.5	-76.0	-97.2	137.7	494.9	314.9	332.9
		-38.2	-39.1	-36.0	-43.0	-15.3	-25.9	-30.9	12.03.2010	18.03.1984		
Дейвисов пролив	540.7	-100.9	2.0	-42.7	57.7	68.3	21.3	30.7	285.3	715.8	510.0	494.6
		-15.7	0.4	-7.3	11.9	14.4	4.1	6.0	15.03.2005	15.03.1993		
Канадский архипелаг	1190.0	0.7	-0.1	-0.1	-0.1	0.0	0.0	-0.1	1184.9	1190.1	1190.1	1190.1
		0.1	0.0	0.0	0.0	0.0	0.0	0.0	18.03.2012	12.03.1979		

19.02-18.03

Регион	S, тыс. км2	Аномалии, тыс км2/%							1978-2018гг			
		2012 г	2014 г	2015 г	2016 г	2017 г	2008-2018гг	1978-2018гг	Минимум дата	Максимум дата	Среднее	Медиана
Сев. полярная область	14271.0	-730.0	-390.1	-116.7	-101.3	-88.9	-455.2	-1153.2	14040.2	16769.3	15424.2	15511.0
		-4.9	-2.7	-0.8	-0.7	-0.6	-3.1	-7.5	19.02.2018	01.03.1979		
Сектор 45°W-95°E	3118.5	69.8	19.3	-96.0	305.1	-68.2	-136.0	-557.3	2679.9	4701.2	3675.8	3676.9
		2.3	0.6	-3.0	10.8	-2.1	-4.2	-15.2	23.02.2016	25.02.1979		
Гренландское море	560.8	-144.9	-117.1	-113.1	-38.9	-94.3	-122.5	-241.0	472.3	1116.6	801.8	772.2
		-20.5	-17.3	-16.8	-6.5	-14.4	-17.9	-30.1	25.02.2018	27.02.1979		
Баренцево море	544.1	141.4	84.8	-23.2	239.5	42.4	5.8	-198.4	246.2	1191.9	742.5	749.1
		35.1	18.5	-4.1	78.6	8.4	1.1	-26.7	23.02.2016	01.03.1979		
Карское море	837.0	67.1	12.9	-1.1	23.7	0.8	9.2	1.4	651.1	839.2	835.5	839.2
		8.7	1.6	-0.1	2.9	0.1	1.1	0.2	22.02.2012	19.02.1979		
Сектор 95°E-170°W	4637.5	-575.1	-157.2	213.3	-403.1	28.4	-217.8	-363.9	4346.7	5550.2	5001.3	5000.0
		-11.0	-3.3	4.8	-8.0	0.6	-4.5	-7.3	14.03.2015	04.03.2001		
Море Лаптевых	674.3	0.0	0.0	0.0	0.0	0.0	0.0	0.0	673.6	674.3	674.3	674.3
		0.0	0.0	0.0	0.0	0.0	0.0	0.0	20.02.2006	19.02.1979		
Восточно-Сибирское море	915.1	0.0	0.0	0.0	0.0	0.0	0.0	0.0	914.5	915.1	915.1	915.1
		0.0	0.0	0.0	0.0	0.0	0.0	0.0	20.02.1989	19.02.1979		
Чукотское море	594.7	-2.6	-2.6	-2.6	-2.6	-2.6	-2.4	-2.5	574.1	597.3	597.2	597.3
		-0.4	-0.4	-0.4	-0.4	-0.4	-0.4	-0.4	21.02.2018	19.02.1979		
Берингово море	291.7	-721.9	-426.1	-252.1	-327.2	-331.3	-436.2	-443.8	173.3	1104.8	735.5	735.3
		-71.2	-59.4	-46.4	-52.9	-53.2	-59.9	-60.3	21.02.2018	18.03.2012		
Сектор 170°W-45°W	6515.0	-224.7	-252.1	-233.9	-3.3	-49.1	-101.4	-232.1	6118.3	7289.4	6747.1	6736.1
		-3.3	-3.7	-3.5	-0.1	-0.7	-1.5	-3.4	24.02.2011	25.02.1984		
Море Бофорта	486.6	0.0	0.0	0.0	0.0	0.0	0.0	0.0	485.9	486.6	486.6	486.6
		0.0	0.0	0.0	0.0	0.0	0.0	0.0	18.03.2006	19.02.1979		
Гудзонов залив	837.2	-1.6	-1.8	-0.5	0.2	0.3	-1.1	-1.6	832.0	839.0	838.8	839.0
		-0.2	-0.2	-0.1	0.0	0.0	-0.1	-0.2	04.03.2016	19.02.1979		
Море Лабрадор	282.0	-34.6	-61.5	-62.2	-86.5	-2.5	-2.7	-35.8	80.5	526.8	317.8	331.2
		-10.9	-17.9	-18.1	-23.5	-0.9	-0.9	-11.3	20.02.2010	24.02.1983		
Дейвисов пролив	547.5	-18.5	27.0	24.9	77.4	92.2	53.5	46.6	285.3	715.8	500.9	486.3
		-3.3	5.2	4.8	16.5	20.3	10.8	9.3	15.03.2005	15.03.1993		
Канадский архипелаг	1190.0	0.1	0.0	0.0	0.0	0.0	0.0	0.0	1184.9	1190.1	1190.1	1190.1
		0.0	0.0	0.0	0.0	0.0	0.0	0.0	18.03.2012	19.02.1979		

Таблица 8 – Средние, аномалии среднего и экстремальные значения ледовитостей для Южного океана и его отдельных акваторий за текущие 7-дневный (неделя) и 30-дневный промежутки времени по данным наблюдений SSMR-SSM/I-SSMIS, алгоритм NASATEAM за период 1978-2017 гг.
12-18.03

Регион	S, тыс. км2	Аномалии, тыс км2/%							1978-2018гг			
		2012 г	2014 г	2015 г	2016 г	2017 г	2008-2018гг	1978-2018гг	Минимум дата	Максимум дата	Среднее	Медиана
Южный Океан	3362.9	-1046.0	-1322.3	-1445.4	-355.0	762.1	-727.5	-534.2	2478.8	5321.3	3897.2	3843.7
		-23.7	-28.2	-30.1	-9.5	29.3	-17.8	-13.7	12.03.2017	18.03.2008		
Атлантический сектор	1436.8	-621.4	-727.7	-856.9	-172.9	-14.1	-415.5	-90.3	883.8	2331.1	1527.1	1472.0
		-30.2	-33.6	-37.4	-10.7	-1.0	-22.4	-5.9	12.03.1981	17.03.2015		
Западная часть моря Уэдделла	1281.6	-230.7	-297.0	-507.4	-29.4	-36.7	-155.7	12.4	826.9	1809.6	1269.2	1273.2
		-15.3	-18.8	-28.4	-2.2	-2.8	-10.8	1.0	14.03.1999	17.03.2015		
Восточная часть моря Уэдделла	155.2	-390.7	-430.7	-349.5	-143.5	22.5	-259.8	-102.8	1.2	677.1	257.9	238.3
		-71.6	-73.5	-69.3	-48.0	16.9	-62.6	-39.8	12.03.1989	16.03.2009		
Индоокеанский сектор	750.3	180.5	-61.0	-19.3	198.9	192.0	78.1	177.6	217.5	971.6	572.7	558.3
		31.7	-7.5	-2.5	36.1	34.4	11.6	31.0	12.03.1986	18.03.2008		
Море Космонавтов	78.0	-27.6	-39.0	17.2	51.8	26.6	-7.9	5.9	8.1	185.4	72.1	58.4
		-26.2	-33.4	28.3	197.8	51.9	-9.2	8.2	16.03.1998	18.03.2008		
Море Содружества	226.3	76.0	-68.2	-29.5	6.3	157.2	20.8	58.2	29.0	356.8	168.0	154.6
		50.6	-23.2	-11.5	2.9	227.8	10.1	34.7	18.03.2003	18.03.2008		
Море Моусона	446.1	132.1	46.2	-7.0	140.8	8.1	65.2	113.5	64.5	634.5	332.6	341.0
		42.1	11.6	-1.5	46.1	1.9	17.1	34.1	12.03.1986	18.03.2013		
Тихоокеанский сектор	1175.9	-605.0	-533.6	-569.1	-381.0	584.3	-390.1	-621.5	520.8	2577.8	1797.3	1832.6
		-34.0	-31.2	-32.6	-24.5	98.8	-24.9	-34.6	12.03.2017	18.03.1988		
Море Росса	1040.9	-535.5	-424.6	-566.1	-228.8	573.0	-396.9	-546.3	391.9	2483.1	1587.3	1639.1
		-34.0	-29.0	-35.2	-18.0	122.4	-27.6	-34.4	12.03.2017	18.03.1999		
Море Беллинсгаузена	134.9	-69.5	-109.0	-3.0	-152.2	11.3	6.8	-75.1	11.3	462.3	210.1	202.3
		-34.0	-44.7	-2.2	-53.0	9.1	5.3	-35.8	15.03.2013	14.03.1980		

19.02-18.03

Регион	S, тыс. км2	Аномалии, тыс км2/%							1978-2018гг			
		2012 г	2014 г	2015 г	2016 г	2017 г	2008-2018гг	1978-2018гг	Минимум дата	Максимум дата	Среднее	Медиана
Южный Океан	2675.0	-985.0	-1379.1	-1420.3	-420.9	381.0	-789.0	-635.5	2080.6	5321.3	3310.5	3228.2
		-26.9	-34.0	-34.7	-13.6	16.6	-22.8	-19.2	01.03.2017	18.03.2008		
Атлантический сектор	1334.6	-462.1	-823.8	-814.3	-139.4	47.8	-354.4	-50.1	770.2	2331.1	1384.7	1338.1
		-25.7	-38.2	-37.9	-9.5	3.7	-21.0	-3.6	19.02.1985	17.03.2015		
Западная часть моря Уэдделла	1208.5	-227.8	-370.7	-514.9	-19.3	-8.0	-159.2	21.0	763.3	1809.6	1187.4	1153.0
		-15.9	-23.5	-29.9	-1.6	-0.7	-11.6	1.8	19.02.1985	17.03.2015		
Восточная часть моря Уэдделла	126.1	-234.4	-453.1	-299.5	-120.1	55.8	-195.2	-71.2	0.0	677.1	197.3	178.3
		-65.0	-78.2	-70.4	-48.8	79.3	-60.7	-36.1	22.02.1981	16.03.2009		
Индоокеанский сектор	522.5	100.2	-188.9	-129.5	126.9	2.4	-25.5	58.3	190.2	971.6	464.2	448.0
		23.7	-26.6	-19.9	32.1	0.5	-4.7	12.6	20.02.1980	18.03.2008		
Море Космонавтов	72.2	-36.2	-39.5	5.0	44.0	17.7	-15.3	-3.8	7.5	207.3	76.0	69.3
		-33.4	-35.3	7.4	155.6	32.6	-17.5	-5.0	10.03.1998	09.03.2011		
Море Содружества	133.7	72.3	-123.9	-44.1	7.3	89.3	0.1	24.4	0.0	356.8	109.3	90.5
		117.7	-48.1	-24.8	5.8	201.1	0.1	22.3	08.03.1988	18.03.2008		
Море Моусона	316.6	64.1	-25.5	-90.4	75.7	-104.7	-10.3	37.7	64.5	634.5	278.9	265.0
		25.4	-7.5	-22.2	31.4	-24.9	-3.1	13.5	12.03.1986	18.03.2013		
Тихоокеанский сектор	817.8	-623.0	-366.5	-476.5	-408.4	330.9	-409.0	-643.7	404.7	2577.8	1461.5	1476.3
		-43.2	-30.9	-36.8	-33.3	67.9	-33.3	-44.0	07.03.2017	18.03.1988		
Море Росса	702.6	-507.7	-339.4	-475.4	-223.9	369.9	-402.3	-550.3	263.3	2483.1	1252.9	1271.6
		-41.9	-32.6	-40.4	-24.2	111.2	-36.4	-43.9	24.02.2017	18.03.1999		
Море Беллинсгаузена	115.2	-115.4	-27.0	-1.1	-184.5	-39.0	-6.7	-93.4	11.3	515.9	208.6	183.5
		-50.0	-19.0	-0.9	-61.6	-25.3	-5.5	-44.8	15.03.2013	19.02.1979		

Таблица 9 – Динамика изменения значений ледовитости по сравнению с предыдущей неделей для морей Северной полярной области и Южного океана за текущий 7-дневный (неделя) промежуток времени по данным наблюдений SSMIS

12-18.03				
Регион	Сев. полярная область	Сектор 45°W-95°E	Гренландское море	Баренцево море
Разность	196.7	64.0	5.4	73.5
тыс.кв.км/сут.	28.1	9.1	0.8	10.5
12-18.03				
Регион	Карское море	Сектор 95°E-170°W	Море Лаптевых	Восточно-Сибирское море
Разность	0.0	134.4	0.0	0.0
тыс.кв.км/сут.	0.0	19.2	0.0	0.0
12-18.03				
Регион	Чукотское море	Берингово море	Сектор 170°W-45°W	Море Бофорта
Разность	0.0	151.2	-1.7	0.0
тыс.кв.км/сут.	0.0	21.6	-0.2	0.0
12-18.03				
Регион	Гудзонов залив	Море Лабрадор	Дейвисов пролив	Канадский архипелаг
Разность	0.1	-29.3	6.3	-0.1
тыс.кв.км/сут.	0.0	-4.2	0.9	0.0
12-18.03				
Регион	Южный Океан	Атлантический сектор	Западная часть моря Уэдделла	Восточная часть моря Уэдделла
Разность	620.5	38.8	33.2	5.6
тыс.кв.км/сут.	88.6	5.5	4.7	0.8
12-18.03				
Регион	Индоокеанский сектор	Море Космонавтов	Море Содружества	Море Моусона
Разность	192.2	9.6	82.9	99.7
тыс.кв.км/сут.	27.5	1.4	11.8	14.2
12-18.03				
Регион	Тихоокеанский сектор	Море Росса	Море Беллинсгаузена	
Разность	389.6	351.7	37.9	
тыс.кв.км/сут.	55.7	50.2	5.4	

Характеристика исходного материала и методика расчетов

Для иллюстрации ледовых условий Арктического региона представлены совмещенные региональные карты ААНИИ [4, 6], Канадской ледовой службы – КЛС [12], Национального ледового центра США – НЛЦ [10], при наличии данных, ГМЦ России [8], НИЦ Планета [9] и ледовой службы Германии. Совмещение карт выполнено путем перекрытия слоев (ААНИИ, слой #1), (ГМЦ России или НИЦ Планета, слой #1), (BSH, слой #1) -> (КЛС, слой #2) -> (обзорная карта НЛЦ, слой #3). Как результат, карты ААНИИ характеризуют ледовые условия морей Гренландского...Бофорта, карты ГМЦ России или НИЦ Планета – Азовского, Каспийского, Берингова, Охотского, Японского, Белого, карты НЛЦ – Северных частей Тихого и Атлантического океанов и Арктического бассейна (при этом полный охват карт НЛЦ – вся акватория СЛО и субполярные моря). карты BSH – Балтийского карты КЛС - морей Бофорта, Канадского архипелага, Баффина, Девисова пролива, Лабрадор, Св. Лаврентия (при этом полный охват карт НЛЦ – вся акватория СЛО и субполярные моря). Для ледовых условий и распределения айсбергов Южного океана использованы данные проекта по интегрированному ледовому анализу Южного океана – циркумполярные карты ААНИИ [5, 7], НЛЦ [10, 11] и карты акватории Антарктического полуострова Норвежского метеорологического института (НМИ) [21]. Для построения совмещенных карт используется архив данных в обменном формате ВМО СИГРИД-3 [18] Мирового центра данных по морскому льду (МЦД МЛ) – проекта ВМО «Глобальный Банк Цифровых Данных по Морскому Льду». В пределах отдельного срока выборка карт из архива проводилась по критериям близости карт к сроку выпуска карты ААНИИ с максимальным интервалом времени между картами до 7 суток (день недели выпуска карт ААНИИ – вторник, ГМЦ России – среда, НИЦ Планета – понедельник, BSH – понедельник, КЛС – понедельник, НЛЦ – четверг для морского льда и пятница – для крупных айсбергов Южного океана, НМИ - понедельник).

Для иллюстрации полей толщин льда СЛО использованы ежедневные данные по распределению средневзвешенной толщины льда численной модели NYSOM-CICE Датского метеорологического института [20]. Численная модель NYSOM-CICE имеет разрешение 10x10 км и является совместной моделью морского льда – океана.

Для иллюстрации ледовых условий Северной Полярной области и Южного океана за последние сутки используются ежедневные циркумполярные ледовые информационные продукты НЛЦ США по оценке расположения кромки льда и ледяных массивов - MIZ (Marginal Ice Zone).

Для цветовой окраски карт использован стандарт ВМО (WMO/Td. 1215) [19] для зимнего (по возрасту) и летнего (по общей сплоченности) периодов. Следует также отметить, что в зонах стыковки карт ААНИИ, КЛС и НЛЦ наблюдается определенная несогласованность границ и характеристик ледовых зон вследствие ряда различий в ледовых информационных системах подготавливающих служб. Однако, данная несогласованность несущественна для целей интерпретации ледовых условий в рамках настоящего обзора.

Для получения оценок ледовитости (extent) и приведенной ледовитости – площади льда (area) отдельных секторов, морей, частей морей Северной полярной области и Южного океана и климатического положения кромок заданной повторяемости на основе данных спутниковых систем пассивного микроволнового зондирования SSMR-SSM/I-SSMIS [17] в МЦД МЛ ААНИИ принята следующая технология расчетов:

- источник данных – архивные (Cavalieri et al., 2008, Meier et al., 2006) и квазиоперативные (Maslanik and Stroeve, 1999) с задержкой 1-2 дня ежедневные матрицы (поля распределения) оценок общей сплоченности Северной (севернее 45° с.ш.) и Южной (южнее 50° с.ш.) Полярных областей на основе обработанных по алгоритму NASATEAM данных многоканальных микроволновых радиометров SSMR-SSM/I-SSMIS ИСЗ NIMBUS-7 и DMSP за период с 26.10.1978 г. по настоящий момент времени [13, 14, 15], копируемые с сервера НЦДСЛ;

- область расчета – Северная и Южная Полярные области и их регионы с использованием масок океан/суша НЦДСЛ (http://nsidc.org/data/polar_stereo/tools_masks.html);
- границы используемых масок расчета отдельных меридиональных секторов, морей, частей морей Северной полярной области и Южного океана представлены на рисунках П1 – П6, не совпадают с используемыми в НЦДСЛ масками для отдельных акваторий Мирового океана и основаны на номенклатуре ААНИИ для морей Евразийского шельфа (Гренландское - Чукотское), Атласе Северного ледовитого океана (1980) и Атласе океанов (1980) издательства ГУНИО МО [1, 2, 3].
- вычислительные особенности расчета – авторское программное обеспечение ААНИИ с сохранением точности расчетов и оценке статистических параметров по гистограмме распределения и свободно-распространяемое программное обеспечение GDAL для векторизации полей климатических параметров;

В графическом формате PNG совмещенные карты ААНИИ-КЛС-НЛЦ доступны по адресу <http://wdc.aari.ru/datasets/d0040>.

Результаты расчетов ледовитости Северной, Южной полярных областей, их отдельных меридиональных секторов, морей и частей морей доступны на сервере МЦД МЛ ААНИИ в каталогах соответственно <http://wdc.aari.ru/datasets/ssmi/data/north/extent/> и <http://wdc.aari.ru/datasets/ssmi/data/south/extent/>.

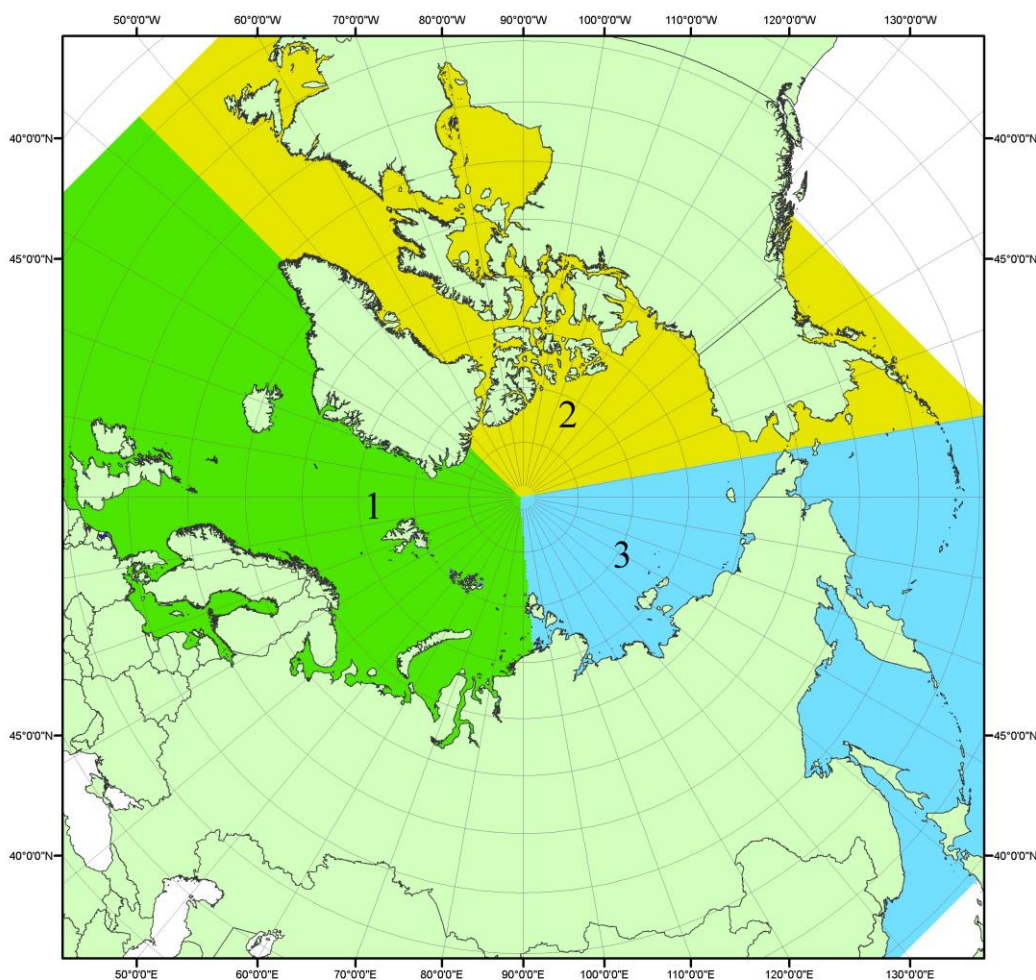


Рисунок П1 – Секторальное деление северной полярной области. 1 - Сектор 45°W-95°E (Гренландское - Карское моря); 2 - Сектор 170°W-45°W (море Бофорта и Канадская Арктика); 3 - Сектор 95°E-170°W (моря Лаптевых - Чукотское, Берингово, Охотское, Японское)

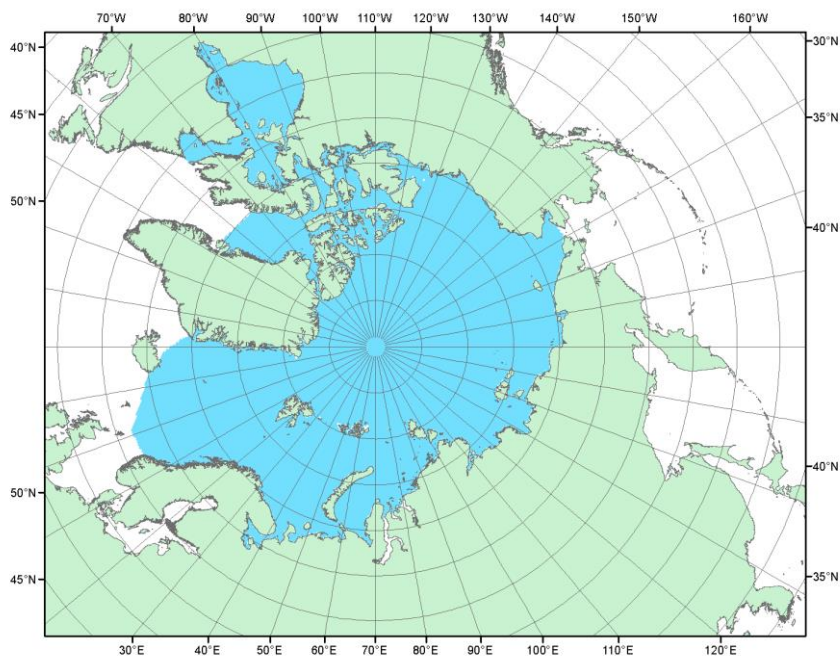


Рисунок П2 – Северный ледовитый океан в официальных границах

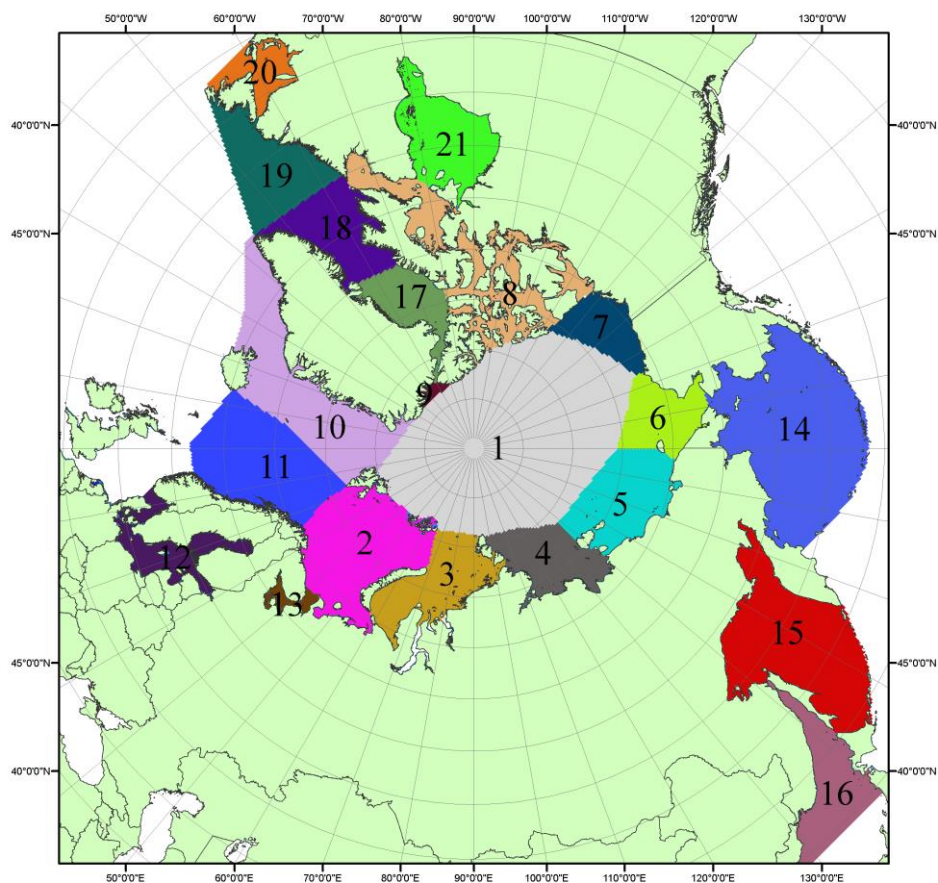


Рисунок П3 – моря северной полярной области. 1 – Арктический бассейн; 2- Баренцево море; 3 – Карское море; 4 – море Лаптевых; 5 - Восточно-Сибирское море; 6 – Чукотское море; 7 – море Бофорта; 8 – Канадский архипелаг; 9 – море Линкольна; 10 – Гренландское море; 11 – Норвежское море; 12 – Балтийское море; 13 – Белое море; 14 – Берингово море; 15 – Охотское море; 16 – Японское море; 17 – море Баффина; 18 – Дейвисов пролив; 19 – море Лабрадор; 20 – залив Святого Лаврентия; 21 – Гудзонов залив.

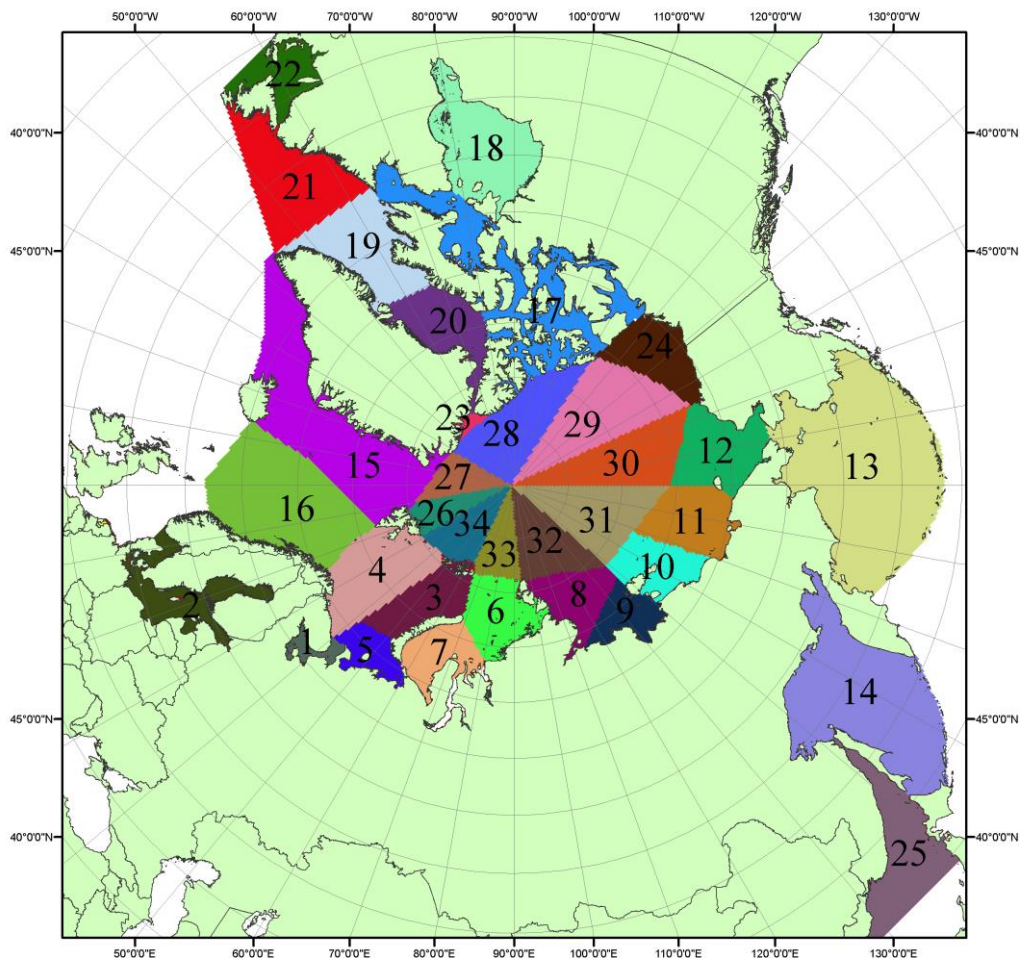


Рисунок П4 – Сектора и моря северной полярной области. 1 - Белое море; 2- Балтийское море; 3 – Баренцево море (СВ); 4 – Баренцево море (З); 5 - Баренцево море (ЮВ); 6 – Карское море (СВ); 7 – Карское море (ЮЗ); 8 – море Лаптевых (В); 9 – море Лаптевых (З); 10 – Восточно-Сибирское море (З); 11 – Восточно-Сибирское море (В); 12 – Чукотское море; 13 – Берингово море; 14 – Охотское море; 15 – Гренландское море; 16 – Норвежское море; 17 – Канадский архипелаг; 18 – Гудзонов залив; 19 – Дейвисов пролив; 20 - море Баффина; 21 – море Лабрадор; 22 - залив Святого Лаврентия; 23 - море Линкольна; 24 - море Бофорта; 25 - Японское море; 26 - сектор АО (30°з.д. – 10°в.д.); 27 – сектор АО (10°в.д. – 30°в.д.); 28 - сектор АО (30°в.д. – 65°в.д.); 29 - сектор АО (65°в.д. – 96°в.д.); 30 - сектор АО (96°в.д. – 140°в.д.); 31 - сектор АО (140°в.д. – 180°в.д.); 32 - сектор АО (180°в.д. – 156°з.д.); 33 - сектор АО (156°з.д. – 123°з.д.); 34 - сектор АО (123°з.д. – 30°з.д.).

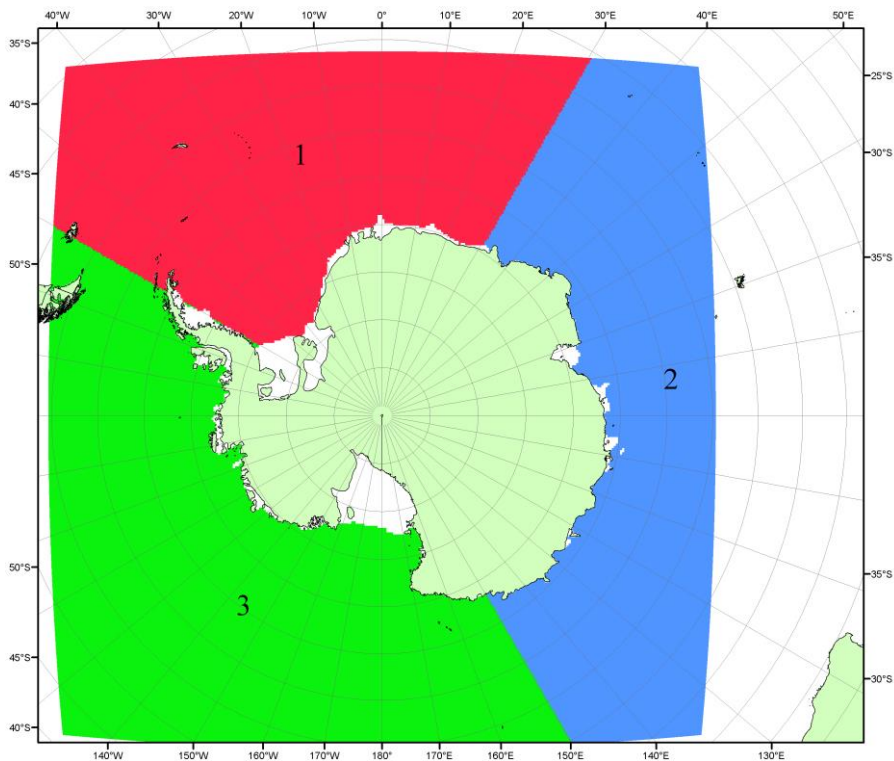


Рисунок П5 – Секторальное деление Южного океана. 1 - Атлантический сектор (60°W-30°E, море Уэдделла); 2 - Индоокеанский сектор (30°E-150°E, моря Космонавтов, Содружества, Моусона); 3 - Тихоокеанский сектор (150°E-60°W, моря Росса, Беллинсгаузена)

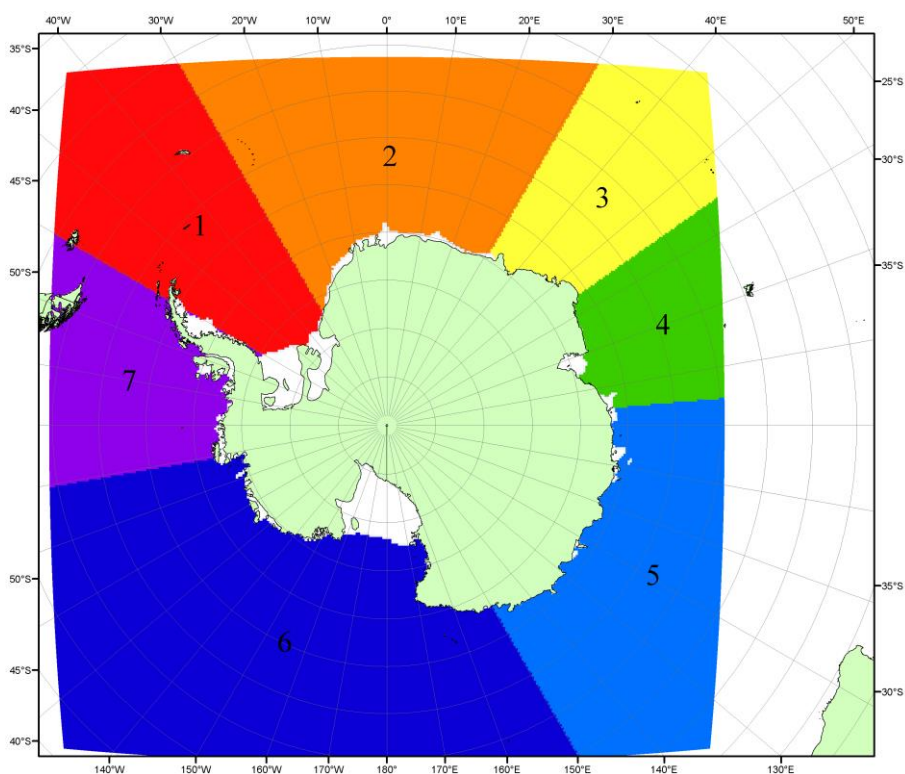


Рисунок П6 – Моря Южного океана. 1 – Западная часть моря Уэдделла; 2- Восточная часть моря Уэдделла; 3 – Море Космонавтов; 4 – море Содружества; 5 – море Моусона; 6 – море Росса; 7 – Море Беллинсгаузена.

СПИСОК ИСТОЧНИКОВ

1. Атлас океанов. Северный Ледовитый океан. – 1980. М: Изд. ГУНИО МО СССР ВМФ – 184 с.
2. Атлас океанов. Термины. Понятия. Справочные таблицы. - Изд. ВМФ МО СССР.-1980.
3. Границы океанов и морей. – 1960. Л.: Изд. ГУНИО ВМФ. – 51 с.
4. Обзорные ледовые карты ФГБУ «ААНИИ» Северного Ледовитого океана за 2008-2018 гг. в обменном формате ВМО СИГРИД-3 // Мировой центр данных по морскому льду - Глобальный банк данных по морскому льду – <http://wdc.aari.ru/datasets/d0015>.
5. Комплексные ледовые карты ФГБУ «ААНИИ» Южного океана за 2014-2018 гг. в обменном формате ВМО СИГРИД-3 // Мировой центр данных по морскому льду - Глобальный банк данных по морскому льду – <http://wdc.aari.ru/datasets/d0015>.
6. Комплексные ледовые карты ФГБУ «ААНИИ» арктических и замерзающих морей России за 1997-2018 гг. в обменном формате ВМО СИГРИД-3 // Мировой центр данных по морскому льду - Глобальный банк данных по морскому льду – <http://wdc.aari.ru/datasets/d0004>.
7. Карты ФГБУ «ААНИИ» анализа крупных айсбергов Южного океана за 2014-2018 гг. в обменном формате ВМО СИГРИД-3 // Мировой центр данных по морскому льду - Глобальный банк данных по морскому льду – <http://wdc.aari.ru/datasets/d0015>.
8. Комплексные ледовые карты ФГБУ «Гидрометцентр России» Азовского, Каспийского и Белого морей за 2000-2017 гг. в обменном формате ВМО СИГРИД-3 // Мировой центр данных по морскому льду - Глобальный банк данных по морскому льду – <http://wdc.aari.ru/datasets/d0033>.
9. Комплексные ледовые карты ФГБУ «НИЦ Планета» Азовского, Каспийского, Берингова, Охотского и Японского морей за 2016-2018 гг. в обменном формате ВМО СИГРИД-3 // Мировой центр данных по морскому льду - Глобальный банк данных по морскому льду – <http://wdc.aari.ru/datasets/d0034>.
10. Комплексные ледовые карты Северной полярной области и Южного океана Национального ледового центра США за 2003-2018 гг. в обменном формате ВМО СИГРИД-3 // Мировой центр данных по морскому льду - Глобальный банк данных по морскому льду – <http://wdc.aari.ru/datasets/d0032>.
11. Карты анализа крупных айсбергов Южного океана Национального ледового центра США за 2014-2018 гг. в обменном формате ВМО СИГРИД-3 // Мировой центр данных по морскому льду - Глобальный банк данных по морскому льду – <http://wdc.aari.ru/datasets/d0032>.
12. Комплексные ледовые карты Канадской Арктики Канадской ледовой службы за 2006-2018 гг. в обменном формате ВМО СИГРИД-3 // Мировой центр данных по морскому льду - Глобальный банк данных по морскому льду – <http://wdc.aari.ru/datasets/d0031>.
13. Cavalieri, D., C. Parkinson, P. Gloersen, and H. J. Zwally. 1996, updated 2008. *Sea Ice Concentrations from Nimbus-7 SMMR and DMSP SSM/I Passive Microwave Data*, [1978.10.26 – 2007.12.31]. Boulder, Colorado USA: National Snow and Ice Data Center. Digital media.
14. Meier, W., F. Fetterer, K. Knowles, M. Savoie, M. J. Brodzik. 2006, updated quarterly. *Sea Ice Concentrations from Nimbus-7 SMMR and DMSP SSM/I Passive Microwave Data*, [2008.01.01 – 2008.03.25]. Boulder, Colorado USA: National Snow and Ice Data Center. Digital media.
15. Maslanik, J., and J. Stroeve. 1999, updated daily. *Near-Real-Time DMSP SSM/I-SSMIS Daily Polar Gridded Sea Ice Concentrations*, [2008.03.26 – present moment]. Boulder, Colorado USA: National Snow and Ice Data Center. Digital media.
16. Andersen, S., R. Tonboe, L. Kaleschke, G. Heygster, and L. T. Pedersen, Intercomparison of passive microwave sea ice concentration retrievals over the high-concentration Arctic sea ice.// J. Geophys. Res. – 2007. – Vol. 112. C08004, doi:10.1029/2006JC003543.
17. Статистические характеристики сплоченности морского льда Северной полярной области и Южного океана на основе данных наблюдений SSMR-SSM/I-SSMIS, алгоритм NASATEAM // Мировой центр данных по морскому льду - Глобальный банк данных по морскому льду – <http://wdc.aari.ru/datasets/ssmi>.

18. SIGRID-3: A vector archive format for Sea Ice Georeferenced Information and Data - JCOMM Technical Report Series No. 23, 2014, WMO/TD-No.1214.

19. Ice Chart Colour Code Standard. - JCOMM Technical Report Series No. 24, 2004, WMO/TD-No.1215.

(http://jcomm.info/index.php?option=com_oe&task=viewDocumentRecord&docID=4914)

20. Danish Meteorological Institute North Atlantic - Arctic Ocean model HYCOM-CICE - <http://ocean.dmi.dk/models/hycom.uk.php>

21. Портал данных ледового анализа Южного океана Норвежского метеорологического института - <http://polarview.met.no/Antarctic.html>